

5. Anexos

5.1. Anexo 1. Términos de búsqueda por base de datos

MEDLINE a través de Pubmed

Aspecto	Búsqueda	N° de artículos recuperados
Cáncer AND anestesia AND sistema inmune	#23,"Search (["Anesthesia"[Mesh]) AND ((neoplasms OR American Cancer Society OR angiogenesis inducing agents OR antibodies, neoplasm OR antigens, neoplasm OR antineoplastic agents OR antineoplastic protocols OR biomarkers, tumor OR biopsy [mh] OR biopsy [tw] OR bone marrow purging OR bone marrow transplantation OR cancer care facilities OR cancer vaccines OR carcinogenicity tests OR carcinogens OR chemoembolization, therapeutic OR clonal evolution [mh] OR clonal evolution [tw] OR colonography, computed tomographic OR colonoscopy OR colposcopy OR combined modality therapy OR cryosurgery OR cytopheresis OR dna, neoplasm OR drug resistance, neoplasm OR drug screening assays, antitumor OR early detection of cancer OR gene expression regulation, neoplastic OR genes, neoplasm OR graft vs tumor effect OR hematopoietic stem cell transplantation OR hematopoietic stem cell mobilization OR immunotherapy, adoptive OR leukostasis OR lymph node excision OR lymphocytes, tumor-infiltrating OR mammography OR mastectomy OR medical oncology OR metastasectomy OR mohs surgery OR myelodysplastic-myeloproliferative diseases OR neoplasm grading OR neoplasm proteins OR neoplasm staging OR neoplasm transplantation OR neoplastic processes OR neoplastic stem cells OR oncogene fusion OR oncogenic viruses OR oncology nursing OR oncology service, hospital OR oncolytic viruses OR papanicolaou test [mh] OR papillomavirus vaccines OR peripheral blood stem cell transplantation OR polyomavirus OR radiotherapy OR radiotherapy planning, computer assisted OR rna, neoplasm OR second-look surgery OR SEER program OR stem cell transplantation [mh:noexp] OR transplantation conditioning OR tumor cells, cultured OR tumor escape OR tumor lysis syndrome OR tumor necrosis factors OR receptors, tumor necrosis factor OR tumor necrosis factor receptor-associated peptides and proteins OR ultrasonography, mammary OR AACR OR AJCC [tw] OR (ASCO NOT fungi) OR IARC OR "National Cancer Institute (U.S.)" [mh] OR UICC OR aCML [tw] OR AGCUS [tw] OR AILD [tw] OR AML [tw] OR ANLL [tw] OR ASCUS [tw] OR ATLL [tw] OR BRCA [tw] OR BRCA1 [tw] OR BRCA2 [tw] OR CIN [tw] OR CLL [tw] OR CMML [tw] OR CMPD [tw] OR ECCL [tw] OR EGIST [tw] OR FMTC [tw] OR GLNH [tw] OR HNPCC [tw] OR HNSCC [tw] OR HPV [tw] OR HSIL [tw] OR ICD O [tw] OR JCML [tw] OR JMML [tw] OR LGLL [tw] OR MGUS [tw] OR MLH1[tw] OR MPD [tw] OR MSH2[tw] OR NSCLC [tw] OR RAEB [tw] OR RCMD [tw] OR SCLC [tw] OR VOD [tw] OR 5q syndrome [tw] OR BCR ABL [tw] OR c erbB 2 [tw] OR c erbB2 [tw] OR carney complex [tw] OR cone biopsy [tw] OR denys drash [tw] OR essential thrombocythemia [tw] OR estrogen receptor negative [tw] OR estrogen receptor positive [tw] OR li fraumeni [tw] OR meigs syndrome [tw] OR molar pregnancy [tw] OR mycosis fungoides [tw] OR peutz jeghers [tw] OR sentinel lymph node [tw] OR sezary syndrome [tw] OR struma ovarii [tw] OR sturge weber [tw] OR zollinger ellison [tw] OR (aberrant [tw] AND crypt [tw] AND foci [tw]) OR ((anti-n-methyl-d-aspartate [tw] OR anti-nmda) AND encephalitis [tw]) OR (barrett [tw] AND esophagus [tw]) OR (gestational [tw] AND trophoblastic [tw]) OR (microsatellite [tw] AND instability [tw]) OR (paget [tw] AND (breast [tw] OR nipple [tw])) OR (polycythemia [tw] AND vera [tw]) OR (radiation [tw] AND therapy [tw]) OR (WAGR [tw] AND syndrome [tw]) OR (pap [tw] AND (smear [tw] OR smears [tw])) OR cervical smear [tw] OR cervical smears [tw] OR pap test [tw] OR pap tests [tw] OR (PSA [tw] AND prostate) OR PSA test [tw] OR PSA testing [tw] OR (prostate [tw] AND specific [tw] AND antigen [tw]) OR acanthoma [tw] OR acanthomas [tw] OR acrochordon [tw] OR acrochordons [tw] OR acrospiroma [tw] OR acrospiromas [tw] OR adamantinoma [tw]	460

OR adamantinomas [tw] OR adenoacanthoma [tw] OR adenoacanthomas [tw] OR adenoameloblastoma [tw] OR adenoameloblastomas [tw] OR adenocanthoma [tw] OR adenocanthomas [tw] OR adenocarcinoma [tw] OR adenocarcinomas [tw] OR adenofibroma [tw] OR adenofibromas [tw] OR adenolipoma [tw] OR adenolipomas [tw] OR adenolymphoma [tw] OR adenolymphomas [tw] OR adenoma [tw] OR adenomas [tw] OR adenomatosis [tw] OR adenomatous [tw] OR adenomyoepithelioma [tw] OR adenomyoepitheliomas [tw] OR adenomyoma [tw] OR adenomyomas [tw] OR adenosarcoma [tw] OR adenosarcomas [tw] OR adenosis [tw] OR aesthesioneuroblastoma [tw] OR aesthesioneuroblastomas [tw] OR ameloblastoma [tw] OR ameloblastomas [tw] OR amyloidoses [tw] OR amyloidosis [tw] OR anaplasia [tw] OR androblastoma [tw] OR androblastomas [tw] OR angioblastoma [tw] OR angioblastomas [tw] OR angioendothelioma [tw] OR angioendotheliomas [tw] OR angioendotheliomatosis [tw] OR angiofibroma [tw] OR angiofibromas [tw] OR angiofibrosarcoma [tw] OR angiogenesis factor [tw] OR angiokeratoma [tw] OR angiokeratomas [tw] OR angioleiomyoma [tw] OR angioleiomyomas [tw] OR angioliipoma [tw] OR angioliipomas [tw] OR angioma [tw] OR angiomas [tw] OR angiomatosis [tw] OR angiomyolipoma [tw] OR angiomyolipomas [tw] OR angiomyoma [tw] OR angiomyomas [tw] OR angiomyxoma [tw] OR angiomyxomas [tw] OR angioreticuloma [tw] OR angioreticulomas [tw] OR angiosarcoma [tw] OR angiosarcomas [tw] OR anticancer [tw] OR anticarcinogenesis [tw] OR anticarcinogenic [tw] OR antimutagenesis [tw] OR antineoplastic [tw] OR antioncogene [tw] OR antioncogenes [tw] OR antitumor [tw] OR antitumors [tw] OR antitumour [tw] OR antitumours [tw] OR apudoma [tw] OR apudomas [tw] OR argentaffinoma [tw] OR argentaffinomas [tw] OR arrhenoblastoma [tw] OR arrhenoblastomas [tw] OR astroblastoma [tw] OR astroblastomas [tw] OR astrocytoma [tw] OR astrocytomas [tw] OR astroglioma [tw] OR astrogliomas [tw] OR atypia [tw] OR baltoma [tw] OR basiloma [tw] OR basilomas [tw] OR biochemotherapies [tw] OR biochemotherapy [tw] OR bioradiotherapy [tw] OR Birt-Hogg-Dube [tw] OR blastoma [tw] OR blastomas [tw] OR Buschke-Lowenstein [tw] OR cachexia [tw] OR cancer [tw] OR cancerous [tw] OR cancers [tw] OR carcinogen [tw] OR carcinogenesis [tw] OR carcinogenic [tw] OR carcinogens [tw] OR carcinoid [tw] OR carcinoma [tw] OR carcinomas [tw] OR carcinomatosis [tw] OR carcinosarcoma [tw] OR carcinosarcomas [tw] OR cavernoma [tw] OR cavernomas [tw] OR cementoma [tw] OR cementomas [tw] OR cerbB2 [tw] OR ceruminoma [tw] OR ceruminomas [tw] OR chemodectoma [tw] OR chemodectomas [tw] OR chemoimmunoradiotherapy [tw] OR chemoimmunotherapies [tw] OR chemoimmunotherapy [tw] OR chemoprevention [tw] OR chemoradiation [tw] OR chemoradiotherapies [tw] OR chemoradiotherapy [tw] OR cherubism [tw] OR chloroma [tw] OR chloromas [tw] OR cholangiocarcinoma [tw] OR cholangiocarcinomas [tw] OR cholangiohepatoma [tw] OR cholangioma [tw] OR cholangiomas [tw] OR cholangiosarcoma [tw] OR cholesteatoma [tw] OR cholesteatomas [tw] OR chondroblastoma [tw] OR chondroblastomas [tw] OR chondroma [tw] OR chondromas [tw] OR chondrosarcoma [tw] OR chondrosarcomas [tw] OR chordoma [tw] OR chordomas [tw] OR chorioadenoma [tw] OR chorioadenomas [tw] OR chorioangioma [tw] OR chorioangiomas [tw] OR choriocarcinoma [tw] OR choriocarcinomas [tw] OR chorioepithelioma [tw] OR chorioepitheliomas [tw] OR chorionepithelioma [tw] OR chorionepitheliomas [tw] OR choristoma [tw] OR choristomas [tw] OR chromaffinoma [tw] OR chromaffinomas [tw] OR cocarcinogenesis [tw] OR collagenoma [tw] OR collagenomas [tw] OR colonoscopies [tw] OR coloscopy [tw] OR coloscopies [tw] OR comedocarcinoma [tw] OR comedocarcinomas [tw] OR condyloma [tw] OR condylomas [tw] OR corticotropinoma [tw] OR corticotropinomas [tw] OR craniopharyngioma [tw] OR craniopharyngiomas [tw] OR cylindroma [tw] OR cylindromas [tw] OR cyst [tw] OR cysts [tw] OR cystadenocarcinoma [tw] OR cystadenocarcinomas [tw] OR cystadenofibroma [tw] OR cystadenofibromas [tw] OR cystadenoma [tw] OR cystadenomas [tw] OR cystoma [tw] OR cystomas [tw] OR cystosarcoma [tw] OR cystosarcomas [tw] OR dentinoma [tw] OR dentinomas [tw] OR dermatofibroma [tw] OR dermatofibromas [tw] OR dermatofibrosarcoma [tw] OR dermatofibrosarcomas [tw] OR dermoid [tw] OR desmoid [tw] OR desmoplastic [tw] OR dictyoma [tw] OR dysgerminoma [tw] OR dysgerminomas [tw] OR dyskeratoma [tw] OR dyskeratomas [tw] OR dysmyelopoiesis [tw] OR dysplasia [tw] OR dysplastic [tw] OR ectomesenchymoma [tw] OR ectomesenchymomas [tw] OR elastofibroma [tw] OR elastofibromas [tw] OR enchondroma [tw] OR enchondromas [tw] OR enchondromatosis [tw] OR endothelioma [tw] OR endotheliomas [tw] OR ependymblastoma [tw] OR ependymblastomas [tw] OR ependymoma [tw] OR ependymomas [tw] OR epidermoid [tw] OR epithelioma [tw] OR epitheliomas [tw] OR erythroleukaemia [tw] OR erythroleukaemias [tw] OR erythroleukemia [tw] OR erythroleukemias [tw] OR erythroplakia [tw] OR erythroplakias [tw] OR erythroplasia [tw] OR esthesioneuroblastoma [tw] OR esthesioneuroblastomas [tw] OR esthesioneuroepithelioma [tw] OR esthesioneuroepitheliomas [tw] OR exostosis [tw] OR fibroadenoma [tw] OR fibroadenomas [tw] OR fibroadenosarcoma [tw] OR fibroadenosis [tw] OR fibrochondrosarcoma [tw] OR fibroelastoma [tw] OR fibroelastomas [tw] OR fibroepithelioma [tw] OR fibroepitheliomas [tw] OR fibrofolliculoma [tw] OR fibrofolliculomas [tw] OR fibroid [tw] OR fibroids [tw] OR fibroliipoma [tw] OR fibroliipomas

[tw] OR fibroliposarcoma [tw] OR fibroma [tw] OR fibromas [tw] OR fibromatosis [tw] OR fibromyoma [tw] OR fibromyomas [tw] OR fibromyxolipoma [tw] OR fibromyxoma [tw] OR fibromyxomas [tw] OR fibroodontoma [tw] OR fibroodontomas [tw] OR fibrosarcoma [tw] OR fibrosarcomas [tw] OR fibrothecoma [tw] OR fibrothecomas [tw] OR fibroxanthoma [tw] OR fibroxanthomas [tw] OR fibroxanthosarcoma [tw] OR fibroxanthosarcomas [tw] OR ganglioblastoma [tw] OR ganglioblastomas [tw] OR gangliocytoma [tw] OR gangliocytomas [tw] OR ganglioglioma [tw] OR gangliogliomas [tw] OR ganglioneuroblastoma [tw] OR ganglioneuroblastomas [tw] OR ganglioneurofibroma [tw] OR ganglioneurofibromas [tw] OR ganglioneuroma [tw] OR ganglioneuromas [tw] OR gastrinoma [tw] OR gastrinomas [tw] OR germinoma [tw] OR germinomas [tw] OR glioblastoma [tw] OR glioblastomas [tw] OR gliofibroma [tw] OR gliofibromas [tw] OR glioma [tw] OR gliomas [tw] OR gliomatosis [tw] OR glioneuroma [tw] OR glioneuromas [tw] OR gliosarcoma [tw] OR gliosarcomas [tw] OR glomangioma [tw] OR glomangiomas [tw] OR glomangiomatosis [tw] OR glomangiomyoma [tw] OR glomangiomyomas [tw] OR glomangiosarcoma [tw] OR glomangiosarcomas [tw] OR glucagonoma [tw] OR glucagonomas [tw] OR gonadoblastoma [tw] OR gonadoblastomas [tw] OR gonocytoma [tw] OR gonocytomas [tw] OR granuloma [tw] OR granulomas [tw] OR granulomatosis [tw] OR gynaecomastia [tw] OR gynandroblastoma [tw] OR gynecomastia [tw] OR haemangioblastoma [tw] OR haemangioblastomas [tw] OR haemangioma [tw] OR haemangiomas [tw] OR haemangiopericytoma [tw] OR haemangiopericytomas [tw] OR haemangiosarcoma [tw] OR haemangiosarcomas [tw] OR hamartoma [tw] OR hamartomas [tw] OR hemangioblastoma [tw] OR hemangioblastomas [tw] OR hemangioendothelioma [tw] OR hemangioendotheliomas [tw] OR hemangioendotheliosarcoma [tw] OR hemangioendotheliosarcomas [tw] OR hemangioma [tw] OR hemangiomas [tw] OR hemangiomatosis [tw] OR hemangiopericytoma [tw] OR hemangiopericytomas [tw] OR hemangioperithelioma [tw] OR hemangiosarcoma [tw] OR hemangiosarcomas [tw] OR hepatoblastoma [tw] OR hepatoblastomas [tw] OR hepatocarcinoma [tw] OR hepatocarcinomas [tw] OR hepatocholangiocarcinoma [tw] OR hepatocholangiocarcinomas [tw] OR hepatoma [tw] OR hepatomas [tw] OR hibernoma [tw] OR hibernomas [tw] OR hidradenoma [tw] OR hidradenomas [tw] OR hidrocystoma [tw] OR hidrocystomas [tw] OR histiocytoma [tw] OR histiocytomas [tw] OR hodgkin [tw] OR hodgkins [tw] OR hydatidiform [tw] OR hydradenoma [tw] OR hydradenomas [tw] OR hypernephroma [tw] OR hypernephromas [tw] OR immunochemoradiotherapy [tw] OR immunochemotherapies [tw] OR immunochemotherapy [tw] OR immunocytoma [tw] OR immunocytoma [tw] OR immunoradiotherapy [tw] OR insulinomas [tw] OR integrative oncology [tw] OR kasabach-merritt [tw] OR keratoacanthoma [tw] OR keratoacanthomas [tw] OR keratosis [tw] OR leiomyoblastoma [tw] OR leiomyoblastomas [tw] OR leiomyofibroma [tw] OR leiomyofibromas [tw] OR leiomyoma [tw] OR leiomyomas [tw] OR leiomyomatosis [tw] OR leiomyosarcoma [tw] OR leiomyosarcomas [tw] OR leukaemia [tw] OR leukaemias [tw] OR leukemia [tw] OR leukemias [tw] OR leukoplakia [tw] OR leukoplakias [tw] OR lipoadenoma [tw] OR lipoadenomas [tw] OR lipoblastoma [tw] OR lipoblastomas [tw] OR lipoblastomatosis [tw] OR lipoma [tw] OR lipomas [tw] OR lipomatosis [tw] OR liposarcoma [tw] OR liposarcomas [tw] OR luteinoma [tw] OR luteoma [tw] OR luteomas [tw] OR lymphangioendothelioma [tw] OR lymphangioendotheliomas [tw] OR lymphangioliomyomatosis [tw] OR lymphangioma [tw] OR lymphangiomas [tw] OR lymphangiomatosis [tw] OR lymphangiomyoma [tw] OR lymphangiomyomas [tw] OR lymphangiomyomatosis [tw] OR lymphangiosarcoma [tw] OR lymphangiosarcomas [tw] OR lymphoepithelioma [tw] OR lymphoepitheliomas [tw] OR lymphoma [tw] OR lymphomas [tw] OR lymphoproliferation [tw] OR lymphoproliferations [tw] OR lymphoproliferative [tw] OR lymphoscintigraphic [tw] OR lymphoscintigraphy [tw] OR macroglobulinemia [tw] OR macroglobulinemias [tw] OR macroprolactinoma [tw] OR malignancies [tw] OR malignancy [tw] OR malignant [tw] OR maltoma [tw] OR maltomas [tw] OR mammogram [tw] OR mammograms [tw] OR masculinoblastoma [tw] OR mastocytoma [tw] OR mastocytomas [tw] OR mastocytosis [tw] OR mcf-7 [tw] OR medulloblastoma [tw] OR medulloblastomas [tw] OR medulloctoma [tw] OR medulloctomas [tw] OR medulloepithelioma [tw] OR medulloepitheliomas [tw] OR medullomyoblastoma [tw] OR medullomyoblastomas [tw] OR melanoacanthoma [tw] OR melanoacanthomas [tw] OR melanoameloblastoma [tw] OR melanocytoma [tw] OR melanocytomas [tw] OR melanoma [tw] OR melanomas [tw] OR melanomatosis [tw] OR meningioblastoma [tw] OR meningioma [tw] OR meningiomas [tw] OR meningiomatosis [tw] OR mesenchymoma [tw] OR mesenchymomas [tw] OR mesonephroma [tw] OR mesonephromas [tw] OR mesothelioma [tw] OR mesotheliomas [tw] OR metaplasia [tw] OR metastases [tw] OR metastasis [tw] OR metastatic [tw] OR microglioma [tw] OR microgliomas [tw] OR micrometastases [tw] OR micrometastasis [tw] OR mucositis [tw] OR myelodysplasia [tw] OR myelodysplasias [tw] OR myelodysplastic [tw] OR myelofibrosis [tw] OR myelolipoma [tw] OR myelolipomas [tw] OR myeloma [tw] OR myelomas [tw] OR myelomatosis [tw] OR myeloproliferation [tw] OR myeloproliferations [tw] OR myeloproliferative [tw] OR myelosuppression [tw] OR myoblastoma [tw] OR myoblastomas [tw] OR myoepithelioma [tw] OR myoepitheliomas

[tw] OR myofibroblastoma [tw] OR myofibroblastomas [tw] OR myofibroma [tw] OR myofibromas [tw] OR myofibromatosis [tw] OR myofibrosarcoma [tw] OR myofibrosarcomas [tw] OR myolipoma [tw] OR myolipomas [tw] OR myoma [tw] OR myomas [tw] OR myosarcoma [tw] OR myosarcomas [tw] OR myxofibroma [tw] OR myxofibromas [tw] OR myxolipoma [tw] OR myxolipomas [tw] OR myxoliposarcoma [tw] OR myxoma [tw] OR myxomas [tw] OR naevus [tw] OR neoplasia [tw] OR neoplasia [tw] OR neoplasm [tw] OR neoplasms [tw] OR neoplastic [tw] OR nephroblastoma [tw] OR nephroblastomas [tw] OR neurilemmoma [tw] OR neurilemmomas [tw] OR neurilemmomatosis [tw] OR neurilemoma [tw] OR neurilemmomas [tw] OR neurinoma [tw] OR neurinomas [tw] OR neuroblastoma [tw] OR neuroblastomas [tw] OR neurocytoma [tw] OR neurocytomas [tw] OR neuroepithelioma [tw] OR neuroepitheliomas [tw] OR neurofibroma [tw] OR neurofibromas [tw] OR neurofibromatosis [tw] OR neurofibrosarcoma [tw] OR neurofibrosarcomas [tw] OR neurolipocytoma [tw] OR neuroma [tw] OR neuromas [tw] OR neuronevus [tw] OR neurothekeoma [tw] OR neurothekeomas [tw] OR nevus [tw] OR nonhodgkin [tw] OR nonhodgkins [tw] OR nonseminoma [tw] OR nonseminomas [tw] OR nonseminomatous [tw] OR ontoameloblastoma [tw] OR odontoma [tw] OR oligastrocytoma [tw] OR oligastrocytomas [tw] OR oligodendroglioma [tw] OR oligodendrogliomas [tw] OR oncocytoma [tw] OR oncocytomas [tw] OR oncogen [tw] OR oncogene [tw] OR oncogenes [tw] OR oncogenesis [tw] OR oncogenic [tw] OR oncogens [tw] OR oncologic [tw] OR oncologist [tw] OR oncologists [tw] OR oncology [tw] OR oncoprotein [tw] OR oncoproteins [tw] OR opsoclonus-myoclonus [tw] OR orchioblastoma [tw] OR orchioblastomas [tw] OR osteoblastoma [tw] OR osteoblastomas [tw] OR osteochondroma [tw] OR osteochondromas [tw] OR osteochondrosarcoma [tw] OR osteochondrosarcomas [tw] OR osteoclastoma [tw] OR osteoclastomas [tw] OR osteofibrosarcoma [tw] OR osteoma [tw] OR osteomas [tw] OR osteosarcoma [tw] OR osteosarcomas [tw] OR pancreatoblastoma [tw] OR pancreatoblastomas [tw] OR papilloma [tw] OR papillomas [tw] OR papillomata [tw] OR papillomatosis [tw] OR papillomavirus [tw] OR papillomaviruses [tw] OR parachordoma [tw] OR parachordomas [tw] OR paraganglioma [tw] OR paragangliomas [tw] OR paraneoplastic [tw] OR perineurioma [tw] OR perineuriomas [tw] OR pheochromocytoma [tw] OR pheochromocytomas [tw] OR pheochromoblastoma [tw] OR pheochromoblastomas [tw] OR pheochromocytoma [tw] OR pheochromocytomas [tw] OR pilomatricoma [tw] OR pilomatricomas [tw] OR pilomatrixoma [tw] OR pilomatrixomas [tw] OR pinealblastoma [tw] OR pinealblastoma [tw] OR pinealoblastomas [tw] OR pinealoma [tw] OR pinealomas [tw] OR pineoblastoma [tw] OR pineoblastomas [tw] OR pineocytoma [tw] OR pineocytomas [tw] OR plasmacytoma [tw] OR plasmacytomas [tw] OR pneumoblastoma [tw] OR pneumoblastomas [tw] OR pneumocytoma [tw] OR polyembryoma [tw] OR polyembryomas [tw] OR polyhistioma [tw] OR polyhistiomas [tw] OR polyp [tw] OR polyposis [tw] OR polyps [tw] OR porocarcinoma [tw] OR porocarcinomas [tw] OR poroma [tw] OR poromas [tw] OR precancer [tw] OR precancerous [tw] OR preleukaemia [tw] OR preleukaemias [tw] OR preleukemia [tw] OR preleukemias [tw] OR premalignant [tw] OR preneoplastic [tw] OR prolactinoma [tw] OR prolactinomas [tw] OR protooncogene [tw] OR protooncogenes [tw] OR pseudotumor [tw] OR pseudotumors [tw] OR radiochemotherapy [tw] OR radioimmunotherapies [tw] OR radioimmunotherapy [tw] OR reninoma [tw] OR reninomas [tw] OR reticuloendothelioma [tw] OR reticuloendotheliomas [tw] OR reticulohistiocytoma [tw] OR reticulohistiocytomas [tw] OR reticulosis [tw] OR retinoblastoma [tw] OR retinoblastomas [tw] OR rhabdomyoma [tw] OR rhabdomyomas [tw] OR rhabdomyosarcoma [tw] OR rhabdomyosarcomas [tw] OR rhabdosarcoma [tw] OR rhabdosarcomas [tw] OR sarcoma [tw] OR sarcomas [tw] OR sarcomatosis [tw] OR schwannoma [tw] OR schwannomas [tw] OR schwannomatosis [tw] OR seminoma [tw] OR seminomas [tw] OR seminomatous [tw] OR somatostatinoma [tw] OR somatostatinomas [tw] OR somatotropinoma [tw] OR somatotropinomas [tw] OR spermatocytoma [tw] OR spiradenoma [tw] OR spiradenomas [tw] OR spongioblastoma [tw] OR spongioblastomas [tw] OR steatocystoma [tw] OR steatocystomas [tw] OR subependymoma [tw] OR subependymomas [tw] OR syringadenoma [tw] OR syringadenomas [tw] OR syringocystadenoma [tw] OR syringocystadenomas [tw] OR syringoma [tw] OR syringomas [tw] OR teratocarcinoma [tw] OR teratocarcinomas [tw] OR teratoma [tw] OR teratomas [tw] OR thecoma [tw] OR thecomas [tw] OR thymolipoma [tw] OR thymolipomas [tw] OR thymoma [tw] OR thymomas [tw] OR trichilemmoma [tw] OR trichilemmomas [tw] OR trichoadenoma [tw] OR trichoblastoma [tw] OR trichoblastomas [tw] OR trichodiscoma [tw] OR trichodiscomas [tw] OR trichoepithelioma [tw] OR trichoepitheliomas [tw] OR trichofolliculoma [tw] OR trichofolliculomas [tw] OR tricholemmoma [tw] OR tricholemmomas [tw] OR tumor [tw] OR tumorigenesis [tw] OR tumorigenic [tw] OR tumorigenesis [tw] OR tumorigenic [tw] OR tumorigenesis [tw] OR tumorigenic [tw] OR tumors [tw] OR tumour [tw] OR tumours [tw] OR vipoma [tw] OR vipomas [tw] OR waldenstrom [tw] OR waldenstroms [tw] OR xanthoastrocytoma [tw] OR xanthoastrocytomas [tw] OR xanthofibroma [tw] OR xanthofibromas [tw] OR xanthogranuloma [tw] OR xanthogranulomas [tw] OR xanthoma [tw] OR xanthomas [tw] OR xanthosarcoma [tw] OR xanthosarcomas [tw] OR Acta Oncol [ta] OR Acta Radiol

Oncol Radiat Phys Biol [ta] OR Acta Radiol Oncol [ta] OR Adv Cancer Res [ta] OR Adv Immun Cancer Ther [ta] OR Ai Zheng [ta] OR Am J Cancer [ta] OR Am J Clin Oncol [ta] OR Am Soc Clin Oncol Educ Book [ta] OR Anal Cell Pathol [ta] OR Ann Oncol [ta] OR Ann Surg Oncol [ta] OR Anti cancer Drugs [ta] OR Anticancer Agents Med Chem [ta] OR Anticancer Drug Des [ta] OR Anticancer Res [ta] OR Asia Pac J Clin Oncol [ta] OR BMC Cancer [ta] OR Baillieres Clin Oncol [ta] OR Biochim Biophys Acta [ta] OR Blood Cancer J [ta] OR Br J Cancer Suppl [ta] OR Br J Cancer [ta] OR Brain Tumor Pathol [ta] OR Breast Cancer Res Treat [ta] OR Breast Cancer Res [ta] OR Breast Cancer [ta] OR Breast J [ta] OR Bull Assoc Fr Etud Cancer [ta] OR Bull Cancer Radiother [ta] OR Bull Cancer [ta] OR CA Cancer J Clin [ta] OR Can J Oncol [ta] OR Can Oncol Nurs J [ta] OR Cancer Biochem Biophys [ta] OR Cancer Biol Ther [ta] OR Cancer Biomark [ta] OR Cancer Biother Radiopharm [ta] OR Cancer Biother [ta] OR Cancer Bull [ta] OR Cancer Causes Control [ta] OR Cancer Cell Int [ta] OR Cancer Cell [ta] OR Cancer Cells [ta] OR Cancer Chemother Biol Response Modif [ta] OR Cancer Chemother Pharmacol [ta] OR Cancer Chemother Rep 2 [ta] OR Cancer Chemother Rep 3 [ta] OR Cancer Chemother Rep [ta] OR Cancer Clin Trials [ta] OR Cancer Commun [ta] OR Cancer Control [ta] OR Cancer Cytol [ta] OR Cancer Cytopathol [ta] OR Cancer Detect Prev Suppl [ta] OR Cancer Detect Prev [ta] OR Cancer Discov [ta] OR Cancer Drug Deliv [ta] OR Cancer Epidemiol Biomarkers Prev [ta] OR Cancer Epidemiol [ta] OR Cancer Gene Ther [ta] OR Cancer Genet [ta] OR Cancer Genet Cytogenet [ta] OR Cancer Genomics Proteomics [ta] OR Cancer Imaging [ta] OR Cancer Immun [ta] OR Cancer Immunol Immunother [ta] OR Cancer Immunol Res [ta] OR Cancer Inform [ta] OR Cancer Invest [ta] OR Cancer J Sci Am [ta] OR Cancer J [ta] OR Cancer Lett [ta] OR Cancer Med [ta] OR Cancer Metastasis Rev [ta] OR Cancer Microenviron [ta] OR Cancer Nurs [ta] OR Cancer Pract [ta] OR Cancer Prev Control [ta] OR Cancer Prev Res Phila [ta] OR Cancer Radiother [ta] OR Cancer Res Treat [ta] OR Cancer Res [ta] OR Cancer Sci [ta] OR Cancer Surv [ta] OR Cancer Treat Rep [ta] OR Cancer Treat Res [ta] OR Cancer Treat Rev [ta] OR Cancer [ta] OR Carcinogenesis [ta] OR Cell Growth Differ [ta] OR Cell Oncol Dordr [ta] OR Chin Clin Oncol [ta] OR Chin J Cancer [ta] OR Chin J Cancer [ta] OR Clin Breast Cancer [ta] OR Clin Cancer Res [ta] OR Clin Colorectal Cancer [ta] OR Clin Exp Metastasis [ta] OR Clin J Oncol Nurs [ta] OR Clin Lymphoma Myeloma Leuk [ta] OR Clin Lymphoma [ta] OR Clin Oncol R Coll Radiol [ta] OR Clin Oncol [ta] OR Clin Transl Oncol [ta] OR CNS Oncol [ta] OR Contemp Oncol [ta] OR Crit Rev Oncog [ta] OR Crit Rev Oncol Hematol [ta] OR Curr Cancer Drug Targets [ta] OR Curr Oncol Rep [ta] OR Curr Oncol [ta] OR Curr Opin Oncol [ta] OR Curr Probl Cancer [ta] OR Curr Treat Options Oncol [ta] OR Dimens Oncol Nurs [ta] OR Drug Resist Updat [ta] OR Eksp Onkol [ta] OR Endocr Relat Cancer [ta] OR Eur J Cancer B Oral Oncol [ta] OR Eur J Cancer Care Engl [ta] OR Eur J Cancer Clin Oncol [ta] OR Eur J Cancer Prev [ta] OR Eur J Cancer [ta] OR Eur J Gynaecol Oncol [ta] OR Eur J Surg Oncol [ta] OR Front Radiat Ther Oncol [ta] OR Future Oncol [ta] OR Gan No Rinsho [ta] OR Gan To Kagaku Ryoho [ta] OR Gastric Cancer [ta] OR Gastrointest Cancer Res [ta] OR Genes Chromosomes Cancer [ta] OR Gulf J Oncolog [ta] OR Gynecol Oncol [ta] OR Head Neck Oncol [ta] OR Hematol Oncol Clin North Am [ta] OR Hematol Oncol Stem Cell Ther [ta] OR Hematol Oncol [ta] OR Hered Cancer Clin Pract [ta] OR Horm Cancer [ta] OR IARC Monogr Eval Carcinog Risk Chem Hum Suppl [ta] OR IARC Monogr Eval Carcinog Risk Chem Hum [ta] OR IARC Monogr Eval Carcinog Risk Chem Man [ta] OR IARC Monogr Eval Carcinog Risks Hum Suppl [ta] OR IARC Monogr Eval Carcinog Risks Hum [ta] OR IARC Sci Publ [ta] OR Important Adv Oncol [ta] OR Indian J Cancer [ta] OR Infect Agent Cancer [ta] OR Innov Oncol Nurs [ta] OR Int Adv Surg Oncol [ta] OR Int J Biol Markers [ta] OR Int J Cancer Suppl [ta] OR Int J Cancer [ta] OR Int J Clin Oncol [ta] OR Int J Gastrointest Cancer [ta] OR Int J Gynecol Cancer [ta] OR Int J Hyperthermia [ta] OR Int J Oncol [ta] OR Int J Radiat Oncol Biol Phys [ta] OR Int J Surg Oncol [ta] OR Integr Cancer Ther [ta] OR Invasion Metastasis [ta] OR Invest New Drugs [ta] OR J Adolesc Young Adult Oncol [ta] OR J Assoc Pediatr Oncol Nurses [ta] OR J Cancer Educ [ta] OR J Cancer Epidemiol Prev [ta] OR J Cancer Res Clin Oncol [ta] OR J Cancer Res [ta] OR J Cancer Surviv [ta] OR J Chemother [ta] OR J Clin Oncol [ta] OR J Community Support Oncol [ta] OR J Dermatol Surg Oncol [ta] OR J Egypt Natl Canc Inst [ta] OR J Environ Pathol Toxicol Oncol [ta] OR J Exp Clin Cancer Res [ta] OR J Exp Ther Oncol [ta] OR J Geriatr Oncol [ta] OR J Gynecol Oncol [ta] OR J Hematol Oncol [ta] OR J Immunother Emphasis Tumor Immunol [ta] OR J Immunother [ta] OR J Mammary Gland Biol Neoplasia [ta] OR J Med Imaging Radiat Oncol [ta] OR J Natl Cancer Inst Monogr [ta] OR J Natl Cancer Inst [ta] OR J Natl Compr Canc Netw [ta] OR J Neurooncol [ta] OR J Oncol Manag [ta] OR J Oncol Pract [ta] OR J Oncol [ta] OR J Pediatr Hematol Oncol [ta] OR J Pediatr Oncol Nurs [ta] OR J Soc Integr Oncol [ta] OR J Support Oncol [ta] OR J Surg Oncol Suppl [ta] OR J Surg Oncol [ta] OR J Thorac Oncol [ta] OR Jaarb Kankeronderz Kankerbestrijd Ned [ta] OR JAMA Oncol [ta] OR Jpn J Cancer Res [ta] OR Jpn J Clin Oncol [ta] OR Klin Onkol [ta] OR Lancet Oncol [ta] OR Leuk Lymphoma [ta] OR Leuk Res [ta] OR Leukemia [ta] OR Lung Cancer [ta] OR Lutte Cancer [ta] OR Magy Onkol [ta] OR Med Oncol Tumor Pharmacother [ta] OR Med Oncol [ta] OR Med Pediatr Oncol Suppl [ta] OR Med Pediatr Oncol [ta] OR Melanoma Res [ta] OR Mol Cancer Res [ta] OR Mol Cancer Ther [ta] OR Mol Cancer [ta] OR Mol Oncol [ta] OR Monogr Neoplast Dis Var Sites [ta] OR NCI Monogr [ta] OR Nat Rev Cancer [ta] OR Nat Rev Clin Oncol [ta]

	OR Natl Cancer Inst Monogr [ta] OR Natl Cancer Inst Res Rep [ta] OR Neoplasia [ta] OR Neoplasma [ta] OR Neuro oncol [ta] OR Nippon Gan Chiryō Gakkai Shi [ta] OR Noshuyo Byori [ta] OR Nutr Cancer [ta] OR ONS Connect [ta] OR ONS News [ta] OR Oncogene Res [ta] OR Oncogene [ta] OR Oncol Nurs Forum [ta] OR Oncol Rep [ta] OR Oncol Res [ta] OR Oncol Res Treat [ta] OR Oncologist [ta] OR Oncology Huntingt [ta] OR Oncology [ta] OR Oncotarget [ta] OR Onkologie [ta] OR Open Clin Cancer J [ta] OR Oral Oncol [ta] OR Papillomavirus Res [ta] OR Pathol Oncol Res [ta] OR Pediatr Blood Cancer [ta] OR Pediatr Hematol Oncol [ta] OR Pigment Cell Melanoma Res [ta] OR Pract Radiat Oncol [ta] OR Princess Takamatsu Symp [ta] OR Proc Am Assoc Cancer Res [ta] OR Proc Can Cancer Conf [ta] OR Proc Natl Cancer Conf [ta] OR Prog Clin Cancer [ta] OR Prog Exp Tumor Res [ta] OR Prog Tumor Res [ta] OR Prostate Cancer Prostatic Dis [ta] OR Psychooncology [ta] OR Radiat Oncol Investig [ta] OR Radiat Oncol [ta] OR Radiother Oncol [ta] OR Recent Results Cancer Res [ta] OR Rep Carcinog Backgr Doc [ta] OR Rev Mex Cir Ginecol Cancer [ta] OR S Afr Cancer Bull [ta] OR Sci Rep Res Inst Tohoku Univ Med [ta] OR Sel Cancer Ther [ta] OR Semin Cancer Biol [ta] OR Semin Oncol Nurs [ta] OR Semin Oncol [ta] OR Semin Radiat Oncol [ta] OR Semin Surg Oncol [ta] OR Semin Urol Oncol [ta] OR Strahlenther Onkol [ta] OR Suppl J Med Oncol Tumor Pharmacother [ta] OR Suppl Tumori [ta] OR Support Cancer Ther [ta] OR Support Care Cancer [ta] OR Surg Oncol Clin N Am [ta] OR Surg Oncol [ta] OR Symp Fundam Cancer Res [ta] OR Target Oncol [ta] OR Technol Cancer Res Treat [ta] OR Thorac Cancer [ta] OR Transl Oncol [ta] OR Tumor Res [ta] OR Tumori [ta] OR Tumour Biol [ta] OR Urol Oncol [ta] OR Vet Comp Oncol [ta] OR Vopr Onkol [ta] OR World J Surg Oncol [ta] OR Z Krebsforsch Klin Onkol Cancer Res Clin Oncol [ta] OR Z Krebsforsch [ta] OR Zhongguo Fei Ai Za Zhi [ta] OR Zhonghua Zhong Liu Za Zhi [ta])) AND ""Immune System""[Mesh]",	
Anestesia	#22,"Search ""Anesthesia""[Mesh]"	184181
Sistema inmune	#16,"Search ""Immune System""[Mesh]"	1098927
Cáncer Filtro	#1,"Search (neoplasms OR American Cancer Society OR angiogenesis inducing agents OR antibodies, neoplasm OR antigens, neoplasm OR antineoplastic agents OR antineoplastic protocols OR biomarkers, tumor OR biopsy [mh] OR biopsy [tw] OR bone marrow purging OR bone marrow transplantation OR cancer care facilities OR cancer vaccines OR carcinogenicity tests OR carcinogens OR chemoembolization, therapeutic OR clonal evolution [mh] OR clonal evolution [tw] OR colonography, computed tomographic OR colonoscopy OR colposcopy OR combined modality therapy OR cryosurgery OR cytopheresis OR dna, neoplasm OR drug resistance, neoplasm OR drug screening assays, antitumor OR early detection of cancer OR gene expression regulation, neoplastic OR genes, neoplasm OR graft vs tumor effect OR hematopoietic stem cell transplantation OR hematopoietic stem cell mobilization OR immunotherapy, adoptive OR leukostasis OR lymph node excision OR lymphocytes, tumor-infiltrating OR mammography OR mastectomy OR medical oncology OR metastasectomy OR mohs surgery OR myelodysplastic-myeloproliferative diseases OR neoplasm grading OR neoplasm proteins OR neoplasm staging OR neoplasm transplantation OR neoplastic processes OR neoplastic stem cells OR oncogene fusion OR oncogenic viruses OR oncology nursing OR oncology service, hospital OR oncolytic viruses OR papanicolaou test [mh] OR papillomavirus vaccines OR peripheral blood stem cell transplantation OR polyomavirus OR radiotherapy OR radiotherapy planning, computer assisted OR rna, neoplasm OR second-look surgery OR SEER program OR stem cell transplantation [mh:noexp] OR transplantation conditioning OR tumor cells, cultured OR tumor escape OR tumor lysis syndrome OR tumor necrosis factors OR receptors, tumor necrosis factor OR tumor necrosis factor receptor-associated peptides and proteins OR ultrasonography, mammary OR AACR OR AJCC [tw] OR (ASCO NOT fungi) OR IARC OR ""National Cancer Institute (U.S.)"" [mh] OR UICC OR aCML [tw] OR AGCUS [tw] OR AILD [tw] OR AML [tw] OR ANLL [tw] OR ASCUS [tw] OR ATLL [tw] OR BRCA [tw] OR BRCA1 [tw] OR BRCA2 [tw] OR CIN [tw] OR CLL [tw] OR CMML [tw] OR CMPD [tw] OR ECCL [tw] OR EGIST [tw] OR FMTC [tw] OR GLNH [tw] OR HNPCC [tw] OR HNSCC [tw] OR HPV [tw] OR HSIL [tw] OR ICD O [tw] OR JCML [tw] OR JMML [tw] OR LGLL [tw] OR MGUS [tw] OR MLH1[tw] OR MPD [tw] OR MSH2[tw] OR NSCLC [tw] OR RAEB [tw] OR RCMD [tw] OR SCLC [tw] OR VOD [tw] OR 5q syndrome [tw] OR BCR ABL [tw] OR c erbB 2 [tw] OR c erbB2 [tw] OR carney complex [tw] OR cone biopsy [tw] OR denys drash [tw] OR essential thrombocythemia [tw] OR estrogen receptor negative [tw] OR estrogen receptor positive [tw] OR li fraumeni [tw] OR meigs syndrome [tw] OR molar pregnancy [tw] OR mycosis fungoides [tw] OR peutz jeghers [tw] OR sentinel lymph node [tw] OR sezary syndrome [tw] OR struma ovarii [tw] OR sturge weber [tw] OR zollinger ellison [tw] OR (aberrant [tw] AND crypt [tw] AND foci [tw]) OR ((anti-n-methyl-d-aspartate [tw] OR anti-nmda) AND encephalitis [tw]) OR (barrett [tw] AND	5958551

esophagus [tw] OR (gestational [tw] AND trophoblastic [tw]) OR (microsatellite [tw] AND instability [tw]) OR (paget [tw] AND (breast [tw] OR nipple [tw])) OR (polycythemia [tw] AND vera [tw]) OR (radiation [tw] AND therapy [tw]) OR (WAGR [tw] AND syndrome [tw]) OR (pap [tw] AND (smear [tw] OR smears [tw])) OR cervical smear [tw] OR cervical smears [tw] OR pap test [tw] OR pap tests [tw] OR (PSA [tw] AND prostate) OR PSA test [tw] OR PSA testing [tw] OR (prostate [tw] AND specific [tw] AND antigen [tw]) OR acanthoma [tw] OR acanthomas [tw] OR acrochordon [tw] OR acrochordons [tw] OR acrospiroma [tw] OR acrospiromas [tw] OR adamantinoma [tw] OR adamantinomas [tw] OR adenoacanthoma [tw] OR adenoacanthomas [tw] OR adenoameloblastoma [tw] OR adenoameloblastomas [tw] OR adenocanthoma [tw] OR adenocanthomas [tw] OR adenocarcinoma [tw] OR adenocarcinomas [tw] OR adenofibroma [tw] OR adenofibromas [tw] OR adenolipoma [tw] OR adenolipomas [tw] OR adenolymphoma [tw] OR adenolymphomas [tw] OR adenoma [tw] OR adenomas [tw] OR adenomatosis [tw] OR adenomatous [tw] OR adenomyoepithelioma [tw] OR adenomyoepitheliomas [tw] OR adenomyoma [tw] OR adenomyomas [tw] OR adenosarcoma [tw] OR adenosarcomas [tw] OR adenositis [tw] OR aesthesioneuroblastoma [tw] OR aesthesioneuroblastomas [tw] OR ameloblastoma [tw] OR ameloblastomas [tw] OR amyloidoses [tw] OR amyloidosis [tw] OR anaplasia [tw] OR androblastoma [tw] OR androblastomas [tw] OR angioblastoma [tw] OR angioblastomas [tw] OR angioendothelioma [tw] OR angioendotheliomas [tw] OR angioendotheliomatosis [tw] OR angiofibroma [tw] OR angiofibromas [tw] OR angiofibrosarcoma [tw] OR angiogenesis factor [tw] OR angiokeratoma [tw] OR angiokeratomas [tw] OR angioleiomyoma [tw] OR angioleiomyomas [tw] OR angioliipoma [tw] OR angioliipomas [tw] OR angioma [tw] OR angiomas [tw] OR angiomatosis [tw] OR angiomyolipoma [tw] OR angiomyolipomas [tw] OR angiomyoma [tw] OR angiomyomas [tw] OR angiomyxoma [tw] OR angiomyxomas [tw] OR angioreticuloma [tw] OR angioreticulomas [tw] OR angiosarcoma [tw] OR angiosarcomas [tw] OR anticancer [tw] OR anticarcinogenesis [tw] OR anticarcinogenic [tw] OR antimutagenesis [tw] OR antineoplastic [tw] OR antioncogene [tw] OR antioncogenes [tw] OR antitumor [tw] OR antitumors [tw] OR antitumour [tw] OR antitumours [tw] OR apudoma [tw] OR apudomas [tw] OR argentaffinoma [tw] OR argentaffinomas [tw] OR arrhenoblastoma [tw] OR arrhenoblastomas [tw] OR astroblastoma [tw] OR astroblastomas [tw] OR astrocytoma [tw] OR astrocytomas [tw] OR astroglioma [tw] OR astrogliomas [tw] OR atypia [tw] OR baltoma [tw] OR basiloma [tw] OR basilomas [tw] OR biochemotherapies [tw] OR biochemotherapy [tw] OR bioradiotherapy [tw] OR Birt-Hogg-Dube [tw] OR blastoma [tw] OR blastomas [tw] OR Buschke-Lowenstein [tw] OR cachexia [tw] OR cancer [tw] OR cancerous [tw] OR cancers [tw] OR carcinogen [tw] OR carcinogenesis [tw] OR carcinogenic [tw] OR carcinogens [tw] OR carcinoid [tw] OR carcinoma [tw] OR carcinomas [tw] OR carcinomatosis [tw] OR carcinosarcoma [tw] OR carcinosarcomas [tw] OR cavernoma [tw] OR cavernomas [tw] OR cementoma [tw] OR cementomas [tw] OR cerbB2 [tw] OR ceruminoma [tw] OR ceruminomas [tw] OR chemodectoma [tw] OR chemodectomas [tw] OR chemoimmunoradiotherapy [tw] OR chemoimmunotherapies [tw] OR chemoimmunotherapy [tw] OR chemoprevention [tw] OR chemoradiation [tw] OR chemoradiotherapies [tw] OR chemoradiotherapy [tw] OR cherubism [tw] OR chloroma [tw] OR chloromas [tw] OR cholangiocarcinoma [tw] OR cholangiocarcinomas [tw] OR cholangiohepatoma [tw] OR cholangioma [tw] OR cholangiomas [tw] OR OR cholangiosarcoma [tw] OR cholesteatoma [tw] OR cholesteatomas [tw] OR chondroblastoma [tw] OR chondroblastomas [tw] OR chondroma [tw] OR chondromas [tw] OR chondrosarcoma [tw] OR chondrosarcomas [tw] OR chordoma [tw] OR chordomas [tw] OR chorioadenoma [tw] OR chorioadenomas [tw] OR chorioangioma [tw] OR chorioangiomas [tw] OR choriocarcinoma [tw] OR choriocarcinomas [tw] OR chorioepithelioma [tw] OR chorioepitheliomas [tw] OR chorionepithelioma [tw] OR chorionepitheliomas [tw] OR choristoma [tw] OR choristomas [tw] OR chromaffinoma [tw] OR chromaffinomas [tw] OR cocarcinogenesis [tw] OR collagenoma [tw] OR collagenomas [tw] OR colonoscopies [tw] OR coloscopy [tw] OR coloscopies [tw] OR comedocarcinoma [tw] OR comedocarcinomas [tw] OR condyloma [tw] OR condylomas [tw] OR corticotropinoma [tw] OR corticotropinomas [tw] OR craniopharyngioma [tw] OR craniopharyngiomas [tw] OR cylindroma [tw] OR cylindromas [tw] OR cyst [tw] OR OR cystadenocarcinoma [tw] OR cystadenocarcinomas [tw] OR cystadenofibroma [tw] OR cystadenofibromas [tw] OR cystadenoma [tw] OR cystadenomas [tw] OR cystoma [tw] OR cystomas [tw] OR cystosarcoma [tw] OR cystosarcomas [tw] OR dentinoma [tw] OR dentinomas [tw] OR dermatofibroma [tw] OR dermatofibromas [tw] OR dermatofibrosarcoma [tw] OR dermatofibrosarcomas [tw] OR dermoid [tw] OR desmoid [tw] OR desmoplastic [tw] OR dictyoma [tw] OR dysgerminoma [tw] OR dysgerminomas [tw] OR dyskeratoma [tw] OR dyskeratomas [tw] OR dysmyelopoiesis [tw] OR dysplasia [tw] OR dysplastic [tw] OR ectomesenchymoma [tw] OR ectomesenchymomas [tw] OR elastofibroma [tw] OR elastofibromas [tw] OR enchondroma [tw] OR enchondromas [tw] OR enchondromatosis [tw] OR endothelioma [tw] OR endotheliomas [tw] OR ependymblastoma [tw] OR ependymblastomas [tw] OR ependymoma [tw] OR ependymomas [tw] OR epidermoid [tw] OR epithelioma [tw] OR

epitheliomas [tw] OR erythroleukaemia [tw] OR erythroleukaemias [tw] OR erythroleukemia [tw] OR erythroleukemias [tw] OR erythroplakia [tw] OR erythroplakias [tw] OR erythroplasia [tw] OR esthesioneuroblastoma [tw] OR esthesioneuroblastomas [tw] OR esthesioneuroepithelioma [tw] OR esthesioneuroepitheliomas [tw] OR exostosis [tw] OR fibroadenoma [tw] OR fibroadenomas [tw] OR fibroadenosarcoma [tw] OR fibroadenosis [tw] OR fibrochondrosarcoma [tw] OR fibroelastoma [tw] OR fibroelastomas [tw] OR fibroepithelioma [tw] OR fibroepitheliomas [tw] OR fibrofolliculoma [tw] OR fibrofolliculomas [tw] OR fibroid [tw] OR fibroids [tw] OR fibrolipoma [tw] OR fibrolipomas [tw] OR fibroliposarcoma [tw] OR fibroma [tw] OR fibromas [tw] OR fibromatosis [tw] OR fibromyoma [tw] OR fibromyomas [tw] OR fibromyxolipoma [tw] OR fibromyxoma [tw] OR fibromyxomas [tw] OR fibroodontoma [tw] OR fibroodontomas [tw] OR fibrosarcoma [tw] OR fibrosarcomas [tw] OR fibrothecoma [tw] OR fibrothecomas [tw] OR fibroxanthoma [tw] OR fibroxanthomas [tw] OR fibroxanthosarcoma [tw] OR fibroxanthosarcomas [tw] OR ganglioblastoma [tw] OR ganglioblastomas [tw] OR gangliocytoma [tw] OR gangliocytomas [tw] OR ganglioglioma [tw] OR gangliogliomas [tw] OR ganglioneuroblastoma [tw] OR ganglioneuroblastomas [tw] OR ganglioneurofibroma [tw] OR ganglioneurofibromas [tw] OR ganglioneuroma [tw] OR ganglioneuromas [tw] OR gastrinoma [tw] OR gastrinomas [tw] OR germinoma [tw] OR germinomas [tw] OR glioblastoma [tw] OR glioblastomas [tw] OR gliofibroma [tw] OR gliofibromas [tw] OR glioma [tw] OR gliomas [tw] OR gliomatosis [tw] OR glioneuroma [tw] OR glioneuromas [tw] OR gliosarcoma [tw] OR gliosarcomas [tw] OR glomangioma [tw] OR glomangiomas [tw] OR glomangiomatosis [tw] OR glomangiomyoma [tw] OR glomangiomyomas [tw] OR glomangiosarcoma [tw] OR glomangiosarcomas [tw] OR glucagonoma [tw] OR glucagonomas [tw] OR gonadoblastoma [tw] OR gonadoblastomas [tw] OR gonocytoma [tw] OR gonocytomas [tw] OR granuloma [tw] OR granulomas [tw] OR granulomatosis [tw] OR gynaecomastia [tw] OR gynandroblastoma [tw] OR gynecomastia [tw] OR haemangioblastoma [tw] OR haemangioblastomas [tw] OR haemangioma [tw] OR haemangiomas [tw] OR haemangiopericytoma [tw] OR haemangiopericytomas [tw] OR haemangiosarcoma [tw] OR haemangiosarcomas [tw] OR hamartoma [tw] OR hamartomas [tw] OR hemangioblastoma [tw] OR hemangioblastomas [tw] OR hemangioendothelioma [tw] OR hemangioendotheliomas [tw] OR hemangioendotheliosarcoma [tw] OR hemangioendotheliosarcomas [tw] OR hemangioma [tw] OR hemangiomas [tw] OR hemangiomatosis [tw] OR hemangiopericytoma [tw] OR hemangiopericytomas [tw] OR hemangioperithelioma [tw] OR hemangiosarcoma [tw] OR hemangiosarcomas [tw] OR hepatoblastoma [tw] OR hepatoblastomas [tw] OR hepatocarcinoma [tw] OR hepatocarcinomas [tw] OR hepatocholangiocarcinoma [tw] OR hepatocholangiocarcinomas [tw] OR hepatoma [tw] OR hepatomas [tw] OR hibernoma [tw] OR hibernomas [tw] OR hidradenoma [tw] OR hidradenomas [tw] OR hidrocystoma [tw] OR hidrocystomas [tw] OR histiocytoma [tw] OR histiocytomas [tw] OR hodgkin [tw] OR hodgkins [tw] OR hydatidiform [tw] OR hydradenoma [tw] OR hydradenomas [tw] OR hypernephroma [tw] OR hypernephromas [tw] OR immunochemoradiotherapy [tw] OR immunochemotherapies [tw] OR immunochemotherapy [tw] OR immunocytoma [tw] OR immunocytoma [tw] OR immunoradiotherapy [tw] OR insulinomas [tw] OR integrative oncology [tw] OR kasabach-merritt [tw] OR keratoacanthoma [tw] OR keratoacanthomas [tw] OR keratosis [tw] OR leiomyoblastoma [tw] OR leiomyoblastomas [tw] OR leiomyofibroma [tw] OR leiomyofibromas [tw] OR leiomyoma [tw] OR leiomyomas [tw] OR leiomyomatosis [tw] OR leiomyosarcoma [tw] OR leiomyosarcomas [tw] OR leukaemia [tw] OR leukaemias [tw] OR leukemia [tw] OR leukemias [tw] OR leukoplakia [tw] OR leukoplakias [tw] OR lipoadenoma [tw] OR lipoadenomas [tw] OR lipoblastoma [tw] OR lipoblastomas [tw] OR lipoblastomatosis [tw] OR lipoma [tw] OR lipomas [tw] OR lipomatosis [tw] OR liposarcoma [tw] OR liposarcomas [tw] OR luteinoma [tw] OR luteoma [tw] OR luteomas [tw] OR lymphangioendothelioma [tw] OR lymphangioendotheliomas [tw] OR lymphangioleiomyomatosis [tw] OR lymphangioma [tw] OR lymphangiomas [tw] OR lymphangiomatosis [tw] OR lymphangiomyoma [tw] OR lymphangiomyomas [tw] OR lymphangiomyomatosis [tw] OR lymphangiosarcoma [tw] OR lymphangiosarcomas [tw] OR lymphoepithelioma [tw] OR lymphoepitheliomas [tw] OR lymphoma [tw] OR lymphomas [tw] OR lymphoproliferation [tw] OR lymphoproliferations [tw] OR lymphoproliferative [tw] OR lymphoscintigraphic [tw] OR lymphoscintigraphy [tw] OR macroglobulinemia [tw] OR macroglobulinemias [tw] OR macroprolactinoma [tw] OR malignancies [tw] OR malignancy [tw] OR malignant [tw] OR maltoma [tw] OR maltomas [tw] OR mammogram [tw] OR mammograms [tw] OR masculinoblastoma [tw] OR mastocytoma [tw] OR mastocytomas [tw] OR mastocytosis [tw] OR mcf-7 [tw] OR medulloblastoma [tw] OR medulloblastomas [tw] OR medulloctoma [tw] OR medulloctomas [tw] OR medulloepithelioma [tw] OR medulloepitheliomas [tw] OR medullomyoblastoma [tw] OR medullomyoblastomas [tw] OR melanoacanthoma [tw] OR melanoacanthomas [tw] OR melanoameloblastoma [tw] OR melanocytoma [tw] OR melanocytomas [tw] OR melanoma [tw] OR melanomas [tw] OR melanomatosis [tw] OR meningioblastoma [tw] OR meningioma [tw] OR meningiomas [tw] OR meningiomatosis [tw] OR mesenchymoma [tw] OR mesenchymomas [tw] OR mesonephroma [tw] OR

mesonephromas [tw] OR mesothelioma [tw] OR mesotheliomas [tw] OR metaplasia [tw] OR metastases [tw] OR metastasis [tw] OR metastatic [tw] OR microglioma [tw] OR microgliomas [tw] OR micrometastases [tw] OR micrometastasis [tw] OR mucositis [tw] OR myelodysplasia [tw] OR myelodysplasias [tw] OR myelodysplastic [tw] OR myelofibrosis [tw] OR myelolipoma [tw] OR myelolipomas [tw] OR myeloma [tw] OR myelomas [tw] OR myelomatosis [tw] OR myeloproliferation [tw] OR myeloproliferations [tw] OR myeloproliferative [tw] OR myelosuppression [tw] OR myoblastoma [tw] OR myoblastomas [tw] OR myoepithelioma [tw] OR myoepitheliomas [tw] OR myofibroblastoma [tw] OR myofibroblastomas [tw] OR myofibroma [tw] OR myofibromas [tw] OR myofibromatosis [tw] OR myofibrosarcoma [tw] OR myofibrosarcomas [tw] OR myolipoma [tw] OR myolipomas [tw] OR myoma [tw] OR myomas [tw] OR myosarcoma [tw] OR myosarcomas [tw] OR myoxifibroma [tw] OR myoxifibromas [tw] OR myxolipoma [tw] OR myxolipomas [tw] OR myxoliposarcoma [tw] OR myxoma [tw] OR myxomas [tw] OR naevus [tw] OR neoplasia [tw] OR neoplasia [tw] OR neoplasm [tw] OR neoplasms [tw] OR neoplastic [tw] OR nephroblastoma [tw] OR nephroblastomas [tw] OR neurilemmoma [tw] OR neurilemmomas [tw] OR neurilemmomatosis [tw] OR neurilemoma [tw] OR neurilemmas [tw] OR neurinoma [tw] OR neurinomas [tw] OR neuroblastoma [tw] OR neuroblastomas [tw] OR neurocytoma [tw] OR neurocytomas [tw] OR neuroepithelioma [tw] OR neuroepitheliomas [tw] OR neurofibroma [tw] OR neurofibromas [tw] OR neurofibromatosis [tw] OR neurofibrosarcoma [tw] OR neurofibrosarcomas [tw] OR neuropilicytoma [tw] OR neuroma [tw] OR neuromas [tw] OR neuronevus [tw] OR neurothekeoma [tw] OR neurothekeomas [tw] OR nevus [tw] OR nonhodgkin [tw] OR nonhodgkins [tw] OR nonseminoma [tw] OR nonseminomas [tw] OR nonseminomatous [tw] OR ontoameloblastoma [tw] OR odontoma [tw] OR oligoastrocytoma [tw] OR oligoastrocytomas [tw] OR oligodendroglioma [tw] OR oligodendrogliomas [tw] OR oncocyoma [tw] OR oncocyomas [tw] OR oncogen [tw] OR oncogene [tw] OR oncogenes [tw] OR oncogenesis [tw] OR oncogenic [tw] OR oncogens [tw] OR oncologic [tw] OR oncologist [tw] OR oncologists [tw] OR oncology [tw] OR oncoprotein [tw] OR oncoproteins [tw] OR opsoclonus-myoeloclonus [tw] OR orchioblastoma [tw] OR orchioblastomas [tw] OR osteoblastoma [tw] OR osteoblastomas [tw] OR osteochondroma [tw] OR osteochondromas [tw] OR osteochondrosarcoma [tw] OR osteochondrosarcomas [tw] OR osteoclastoma [tw] OR osteoclastomas [tw] OR osteofibrosarcoma [tw] OR osteoma [tw] OR osteomas [tw] OR osteosarcoma [tw] OR osteosarcomas [tw] OR pancreatoblastoma [tw] OR pancreatoblastomas [tw] OR papilloma [tw] OR papillomas [tw] OR papillomata [tw] OR papillomatosis [tw] OR papillomavirus [tw] OR papillomaviruses [tw] OR parachordoma [tw] OR parachordomas [tw] OR paraganglioma [tw] OR paragangliomas [tw] OR paraneoplastic [tw] OR perineurioma [tw] OR perineuriomas [tw] OR pheochromocytoma [tw] OR pheochromocytomas [tw] OR pheochromoblastoma [tw] OR pheochromoblastomas [tw] OR pheochromocytoma [tw] OR pheochromocytomas [tw] OR pilomatricoma [tw] OR pilomatricomas [tw] OR pilomatrixoma [tw] OR pilomatrixomas [tw] OR pinealblastoma [tw] OR pinealblastoma [tw] OR pinealblastomas [tw] OR pinealoma [tw] OR pinealomas [tw] OR pineoblastoma [tw] OR pineoblastomas [tw] OR pineocytoma [tw] OR pineocytomas [tw] OR plasmacytoma [tw] OR plasmacytomas [tw] OR pneumoblastoma [tw] OR pneumoblastomas [tw] OR pneumocytoma [tw] OR polyembryoma [tw] OR polyembryomas [tw] OR polyhistioma [tw] OR polyhistiomas [tw] OR polyp [tw] OR polyposis [tw] OR polyps [tw] OR porocarcinoma [tw] OR porocarcinomas [tw] OR poroma [tw] OR poromas [tw] OR precancer [tw] OR precancerous [tw] OR preleukaemia [tw] OR preleukaemias [tw] OR preleukemia [tw] OR preleukemias [tw] OR premalignant [tw] OR preneoplastic [tw] OR prolactinoma [tw] OR prolactinomas [tw] OR protooncogene [tw] OR protooncogenes [tw] OR pseudotumor [tw] OR pseudotumors [tw] OR radiochemotherapy [tw] OR radioimmunotherapies [tw] OR radioimmunotherapy [tw] OR reninoma [tw] OR reninomas [tw] OR reticuloendothelioma [tw] OR reticuloendotheliomas [tw] OR reticulohistiocytoma [tw] OR reticulohistiocytomas [tw] OR reticulosis [tw] OR retinoblastoma [tw] OR retinoblastomas [tw] OR rhabdomyoma [tw] OR rhabdomyomas [tw] OR rhabdomyosarcoma [tw] OR rhabdomyosarcomas [tw] OR rhabdosarcoma [tw] OR rhabdosarcomas [tw] OR sarcoma [tw] OR sarcomas [tw] OR sarcomatosis [tw] OR schwannoma [tw] OR schwannomas [tw] OR schwannomatosis [tw] OR seminoma [tw] OR seminomas [tw] OR seminomatous [tw] OR somatostatinoma [tw] OR somatostatinomas [tw] OR somatotropinoma [tw] OR somatotropinomas [tw] OR spermatocytoma [tw] OR spiradenoma [tw] OR spiradenomas [tw] OR spongioblastoma [tw] OR spongioblastomas [tw] OR steatocystoma [tw] OR steatocystomas [tw] OR subependymoma [tw] OR subependymomas [tw] OR syringadenoma [tw] OR syringadenomas [tw] OR syringocystadenoma [tw] OR syringocystadenomas [tw] OR syringoma [tw] OR syringomas [tw] OR teratocarcinoma [tw] OR teratocarcinomas [tw] OR teratoma [tw] OR teratomas [tw] OR thecoma [tw] OR thecomas [tw] OR thymolipoma [tw] OR thymolipomas [tw] OR thymoma [tw] OR thymomas [tw] OR trichilemmoma [tw] OR trichilemmomas [tw] OR trichoadenoma [tw] OR trichoblastoma [tw] OR trichoblastomas [tw] OR trichodiscoma [tw] OR trichodiscomas [tw] OR trichoepithelioma [tw] OR

trichoeplitheliomas [tw] OR trichofolliculoma [tw] OR trichofolliculomas [tw] OR tricholemmoma [tw] OR tricholemmomas [tw] OR tumor [tw] OR tumorigenesis [tw] OR tumorigenic [tw] OR tumorigenesis [tw] OR tumorigenic [tw] OR tumorigenesis [tw] OR tumorigenic [tw] OR tumors [tw] OR tumour [tw] OR tumours [tw] OR vipoma [tw] OR vipomas [tw] OR waldenstrom [tw] OR waldenstroms [tw] OR xanthoastrocytoma [tw] OR xanthoastrocytomas [tw] OR xanthofibroma [tw] OR xanthofibromas [tw] OR xanthogranuloma [tw] OR xanthogranulomas [tw] OR xanthoma [tw] OR xanthomas [tw] OR xanthosarcoma [tw] OR xanthosarcomas [tw] OR Acta Oncol [ta] OR Acta Radiol Oncol Radiat Phys Biol [ta] OR Acta Radiol Oncol [ta] OR Adv Cancer Res [ta] OR Adv Immun Cancer Ther [ta] OR Ai Zheng [ta] OR Am J Cancer [ta] OR Am J Clin Oncol [ta] OR Am Soc Clin Oncol Educ Book [ta] OR Anal Cell Pathol [ta] OR Ann Oncol [ta] OR Ann Surg Oncol [ta] OR Anti cancer Drugs [ta] OR Anticancer Agents Med Chem [ta] OR Anticancer Drug Des [ta] OR Anticancer Res [ta] OR Asia Pac J Clin Oncol [ta] OR BMC Cancer [ta] OR Baillieres Clin Oncol [ta] OR Biochim Biophys Acta [ta] OR Blood Cancer J [ta] OR Br J Cancer Suppl [ta] OR Br J Cancer [ta] OR Brain Tumor Pathol [ta] OR Breast Cancer Res Treat [ta] OR Breast Cancer Res [ta] OR Breast Cancer [ta] OR Breast J [ta] OR Bull Assoc Fr Etud Cancer [ta] OR Bull Cancer Radiother [ta] OR Bull Cancer [ta] OR CA Cancer J Clin [ta] OR Can J Oncol [ta] OR Can Oncol Nurs J [ta] OR Cancer Biochem Biophys [ta] OR Cancer Biol Ther [ta] OR Cancer Biomark [ta] OR Cancer Biother Radiopharm [ta] OR Cancer Biother [ta] OR Cancer Bull [ta] OR Cancer Causes Control [ta] OR Cancer Cell Int [ta] OR Cancer Cell [ta] OR Cancer Cells [ta] OR Cancer Chemother Biol Response Modif [ta] OR Cancer Chemother Pharmacol [ta] OR Cancer Chemother Rep 2 [ta] OR Cancer Chemother Rep 3 [ta] OR Cancer Chemother Rep [ta] OR Cancer Clin Trials [ta] OR Cancer Commun [ta] OR Cancer Control [ta] OR Cancer Cytol [ta] OR Cancer Cytopathol [ta] OR Cancer Detect Prev Suppl [ta] OR Cancer Detect Prev [ta] OR Cancer Discov [ta] OR Cancer Drug Deliv [ta] OR Cancer Epidemiol Biomarkers Prev [ta] OR Cancer Epidemiol [ta] OR Cancer Gene Ther [ta] OR Cancer Genet [ta] OR Cancer Genet Cytogenet [ta] OR Cancer Genomics Proteomics [ta] OR Cancer Imaging [ta] OR Cancer Immun [ta] OR Cancer Immunol Immunother [ta] OR Cancer Immunol Res [ta] OR Cancer Inform [ta] OR Cancer Invest [ta] OR Cancer J Sci Am [ta] OR Cancer J [ta] OR Cancer Lett [ta] OR Cancer Med [ta] OR Cancer Metastasis Rev [ta] OR Cancer Microenviron [ta] OR Cancer Nurs [ta] OR Cancer Pract [ta] OR Cancer Prev Control [ta] OR Cancer Prev Res Phila [ta] OR Cancer Radiother [ta] OR Cancer Res Treat [ta] OR Cancer Res [ta] OR Cancer Sci [ta] OR Cancer Surv [ta] OR Cancer Treat Rep [ta] OR Cancer Treat Res [ta] OR Cancer Treat Rev [ta] OR Cancer [ta] OR Carcinogenesis [ta] OR Cell Growth Differ [ta] OR Cell Oncol Dordr [ta] OR Chin Clin Oncol [ta] OR Chin J Cancer [ta] OR Chin J Cancer [ta] OR Clin Breast Cancer [ta] OR Clin Cancer Res [ta] OR Clin Colorectal Cancer [ta] OR Clin Exp Metastasis [ta] OR Clin J Oncol Nurs [ta] OR Clin Lymphoma Myeloma Leuk [ta] OR Clin Lymphoma [ta] OR Clin Oncol R Coll Radiol [ta] OR Clin Oncol [ta] OR Clin Transl Oncol [ta] OR CNS Oncol [ta] OR Contemp Oncol [ta] OR Crit Rev Oncog [ta] OR Crit Rev Oncol Hematol [ta] OR Curr Cancer Drug Targets [ta] OR Curr Oncol Rep [ta] OR Curr Oncol [ta] OR Curr Opin Oncol [ta] OR Curr Probl Cancer [ta] OR Curr Treat Options Oncol [ta] OR Dimens Oncol Nurs [ta] OR Drug Resist Updat [ta] OR Eksp Onkol [ta] OR Endocr Relat Cancer [ta] OR Eur J Cancer B Oral Oncol [ta] OR Eur J Cancer Care Engl [ta] OR Eur J Cancer Clin Oncol [ta] OR Eur J Cancer Prev [ta] OR Eur J Cancer [ta] OR Eur J Gynaecol Oncol [ta] OR Eur J Surg Oncol [ta] OR Front Radiat Ther Oncol [ta] OR Future Oncol [ta] OR Gan No Rinsho [ta] OR Gan To Kagaku Ryoho [ta] OR Gastric Cancer [ta] OR Gastrointest Cancer Res [ta] OR Genes Chromosomes Cancer [ta] OR Gulf J Oncolog [ta] OR Gynecol Oncol [ta] OR Head Neck Oncol [ta] OR Hematol Oncol Clin North Am [ta] OR Hematol Oncol Stem Cell Ther [ta] OR Hematol Oncol [ta] OR Hered Cancer Clin Pract [ta] OR Horm Cancer [ta] OR IARC Monogr Eval Carcinog Risk Chem Hum Suppl [ta] OR IARC Monogr Eval Carcinog Risk Chem Hum [ta] OR IARC Monogr Eval Carcinog Risk Chem Man [ta] OR IARC Monogr Eval Carcinog Risks Hum Suppl [ta] OR IARC Monogr Eval Carcinog Risks Hum [ta] OR IARC Sci Publ [ta] OR Important Adv Oncol [ta] OR Indian J Cancer [ta] OR Infect Agent Cancer [ta] OR Innov Oncol Nurs [ta] OR Int Adv Surg Oncol [ta] OR Int J Biol Markers [ta] OR Int J Cancer Suppl [ta] OR Int J Cancer [ta] OR Int J Clin Oncol [ta] OR Int J Gastrointest Cancer [ta] OR Int J Gynecol Cancer [ta] OR Int J Hyperthermia [ta] OR Int J Oncol [ta] OR Int J Radiat Oncol Biol Phys [ta] OR Int J Surg Oncol [ta] OR Integr Cancer Ther [ta] OR Invasion Metastasis [ta] OR Invest New Drugs [ta] OR J Adolesc Young Adult Oncol [ta] OR J Assoc Pediatr Oncol Nurses [ta] OR J Cancer Educ [ta] OR J Cancer Epidemiol Prev [ta] OR J Cancer Res Clin Oncol [ta] OR J Cancer Res [ta] OR J Cancer Surviv [ta] OR J Chemother [ta] OR J Clin Oncol [ta] OR J Community Support Oncol [ta] OR J Dermatol Surg Oncol [ta] OR J Egypt Natl Canc Inst [ta] OR J Environ Pathol Toxicol Oncol [ta] OR J Exp Clin Cancer Res [ta] OR J Exp Ther Oncol [ta] OR J Geriatr Oncol [ta] OR J Gynecol Oncol [ta] OR J Hematol Oncol [ta] OR J Immunother Emphasis Tumor Immunol [ta] OR J Immunother [ta] OR J Mammary Gland Biol Neoplasia [ta] OR J Med Imaging Radiat Oncol [ta] OR J Natl Cancer Inst Monogr [ta] OR J Natl Cancer Inst [ta] OR J Natl Compr Canc Netw [ta] OR J Neurooncol [ta] OR J Oncol Manag [ta] OR J Oncol Pract [ta] OR J Oncol [ta] OR J Pediatr Hematol Oncol [ta] OR J Pediatr Oncol Nurs [ta] OR J Soc Integr Oncol [ta] OR J Support

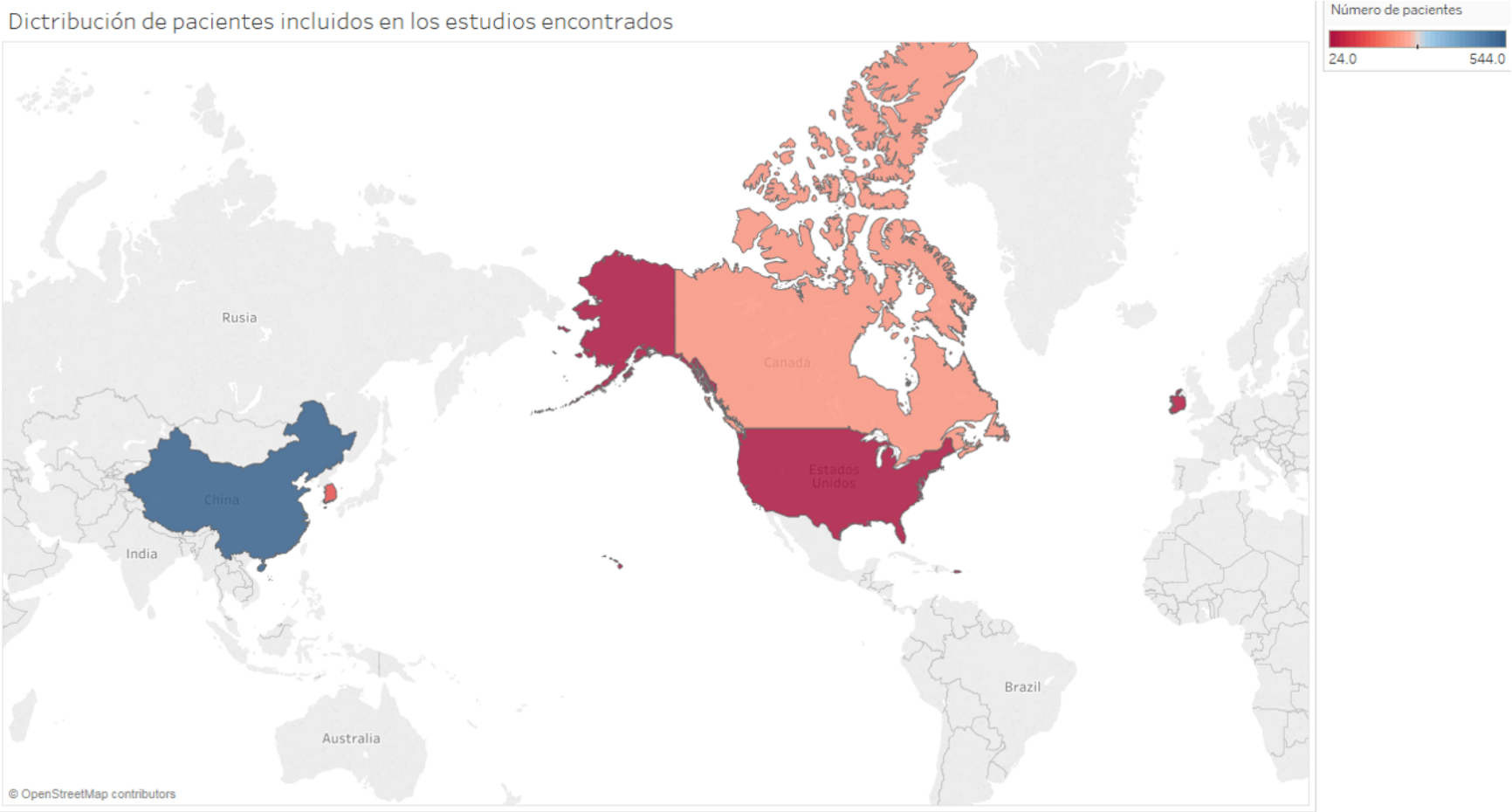
	<p>Oncol [ta] OR J Surg Oncol Suppl [ta] OR J Surg Oncol [ta] OR J Thorac Oncol [ta] OR Jaarb Kankeronderz Kankerbestrijd Ned [ta] OR JAMA Oncol [ta] OR Jpn J Cancer Res [ta] OR Jpn J Clin Oncol [ta] OR Klin Onkol [ta] OR Lancet Oncol [ta] OR Leuk Lymphoma [ta] OR Leuk Res [ta] OR Leukemia [ta] OR Lung Cancer [ta] OR Lutte Cancer [ta] OR Magy Onkol [ta] OR Med Oncol Tumor Pharmacother [ta] OR Med Oncol [ta] OR Med Pediatr Oncol Suppl [ta] OR Med Pediatr Oncol [ta] OR Melanoma Res [ta] OR Mol Cancer Res [ta] OR Mol Cancer Ther [ta] OR Mol Cancer [ta] OR Mol Oncol [ta] OR Monogr Neoplast Dis Var Sites [ta] OR NCI Monogr [ta] OR Nat Rev Cancer [ta] OR Nat Rev Clin Oncol [ta] OR Natl Cancer Inst Monogr [ta] OR Natl Cancer Inst Res Rep [ta] OR Neoplasia [ta] OR Neoplasma [ta] OR Neuro oncol [ta] OR Nippon Gan Chiryo Gakkai Shi [ta] OR Noshuyo Byori [ta] OR Nutr Cancer [ta] OR ONS Connect [ta] OR ONS News [ta] OR Oncogene Res [ta] OR Oncogene [ta] OR Oncol Nurs Forum [ta] OR Oncol Rep [ta] OR Oncol Res [ta] OR Oncol Res Treat [ta] OR Oncologist [ta] OR Oncology Huntingt [ta] OR Oncology [ta] OR Oncotarget [ta] OR Onkologie [ta] OR Open Clin Cancer J [ta] OR Oral Oncol [ta] OR Papillomavirus Res [ta] OR Pathol Oncol Res [ta] OR Pediatr Blood Cancer [ta] OR Pediatr Hematol Oncol [ta] OR Pigment Cell Melanoma Res [ta] OR Pract Radiat Oncol [ta] OR Princess Takamatsu Symp [ta] OR Proc Am Assoc Cancer Res [ta] OR Proc Can Cancer Conf [ta] OR Proc Natl Cancer Conf [ta] OR Prog Clin Cancer [ta] OR Prog Exp Tumor Res [ta] OR Prog Tumor Res [ta] OR Prostate Cancer Prostatic Dis [ta] OR Psychooncology [ta] OR Radiat Oncol Investig [ta] OR Radiat Oncol [ta] OR Radiother Oncol [ta] OR Recent Results Cancer Res [ta] OR Rep Carcinog Backgr Doc [ta] OR Rev Mex Cir Ginecol Cancer [ta] OR S Afr Cancer Bull [ta] OR Sci Rep Res Inst Tohoku Univ Med [ta] OR Sel Cancer Ther [ta] OR Semin Cancer Biol [ta] OR Semin Oncol Nurs [ta] OR Semin Oncol [ta] OR Semin Radiat Oncol [ta] OR Semin Surg Oncol [ta] OR Semin Urol Oncol [ta] OR Strahlenther Onkol [ta] OR Suppl J Med Oncol Tumor Pharmacother [ta] OR Suppl Tumori [ta] OR Support Cancer Ther [ta] OR Support Care Cancer [ta] OR Surg Oncol Clin N Am [ta] OR Surg Oncol [ta] OR Symp Fundam Cancer Res [ta] OR Target Oncol [ta] OR Technol Cancer Res Treat [ta] OR Thorac Cancer [ta] OR Transl Oncol [ta] OR Tumor Res [ta] OR Tumori [ta] OR Tumour Biol [ta] OR Urol Oncol [ta] OR Vet Comp Oncol [ta] OR Vopr Onkol [ta] OR World J Surg Oncol [ta] OR Z Krebsforsch Klin Onkol Cancer Res Clin Oncol [ta] OR Z Krebsforsch [ta] OR Zhongguo Fei Ai Za Zhi [ta] OR Zhonghua Zhong Liu Za Zhi [ta]"</p>	
--	---	--

EMBASE

Aspecto	Estrategia de búsqueda	N° de artículos recuperados
Cáncer AND anestesia AND sistema inmune	#1 search (((cancer and anesthesia and immune system)))	4,641

5.2. Anexo 2. Mapa de distribución geográfica del número de pacientes de los estudios descritos

Distribución de pacientes incluidos en los estudios encontrados



Elaboración de los autores con Tableau 2019.1

5.3. Anexo 3. Descripción de metodología de los estudios

Subgrupo	Referencia, primer autor, fecha	Pais o region	Centro de donde proveiene los datos	Analisis	Número de pacientes	Intervención a / intervención b	Seguimiento o recolección de la información
Anestesia inhalada (Sevoflurano o Desflurano) comparada con anestesia endovenosa (Propofol)	Jeong-Ae Lim, 2018	corea del sur	Institutional Review Board of Konkuk University Medical Center, Seoul, korea, enero a octubre 2016	t-test, Mann-Withney U diferencias entre grupos, repeated measures analysis of variances,	47	propofol para concentración objetivo inicial de propofol de 4.0 µg · ml/ sevoflurano se mantivo concetración para índice biespectral (BIS) entre 40 a 60	Las muestras de sangre venosa se recolectaron en tubos con EDTA después de inducir anestesia (Preop), 1 h postoperatoria (Post 1 h) y 24 h postoperatoria (Post 24 h) para aislar células NK y CTL (linfocitos t citotoxicos)de sangre periférica (PBMC) para el cáncer de mama co-cultivos celulares
	Xin-Rui Han1, 2017	china	Department of Anesthesiology, Obstetrics & Gynecology of Hospital of Fudan University, Shanghai 200090, P.R. China	Los datos de medición se representaron como media + desviación estándar (DE). Las distribuciones normales se compararon mediante pruebas t paradas no pareadas. La comparación entre múltiples grupos se realizó mediante un análisis de varianza de una vía (ANOVA), mientras que las comparaciones entre dos grupos se realizaron mediante la prueba de diferencia menos significativa (LSD). Los datos de medición sin distribución normal se compararon mediante una prueba de suma de rangos	148	propofol de 6 a 10 mg/kg hora vs propofol a 3 a 6 mg kg hora + 0.75% ropivacaina (6-8 ml/h)	Se recolectó un total de 5 ml de sangre venosa de cada paciente en los grupos de GA y GEA en seis puntos de tiempo diferentes: antes de la anestesia (T0), 30 minutos después de la anestesia (T1), 1 h intraoperatoria (T3), 24 h después de la operación (T3), 48 h después de la operación (T4) y 72 h después de la operación (T5).Las muestras respectivas se canalizaron en tubos de anticoagulación heparinizados. También se recogió un total de 2 ml de sangre completa en cada punto de tiempo y se centrifugó durante 5 minutos a 500-1000 r / min. Se obtuvo plasma y se empleó ELISA para detectar los niveles de interleucina (IL) -2 y factor de necrosis tumoral-α (TNF-α). Cuando tanto la reacción como la coloración habían terminado, el valor de densidad óptica (OD) se obtuvo a una longitud de onda de 150 nm utilizando un medidor marcado con enzimas.

Subgrupo	Referencia, primer autor, fecha	Pais o region	Centro de donde proviene los datos	Analisis	Número de pacientes	Intervención a / intervención b	Seguimiento o recolección de la información
	Jae Hee Woo, 2015	corea del sur	Department of Anesthesiology and Pain Medicine, School of Medicine, Ewha Womans University, Seoul, Korea	Las variables continuas se analizaron mediante pruebas t de Student o prueba U de Mann Whitney después de la evaluación de la normalidad. Las variables discretas se analizaron mediante la prueba de ji cuadrado o la prueba exacta de Fisher. Los datos de los glóbulos blancos, los recuentos de subconjuntos de linfocitos y las citoquinas se analizaron mediante análisis de varianza (ANOVA) de medidas repetidas, seguido de la corrección de Bonferroni. La prueba U de Mann Whitney se utilizó para analizar una diferencia entre grupos. Los resultados se presentan como las medias \pm desviaciones estándar (DE) o como medianas con rangos intercuartílicos (RIC) según sea apropiado	40	anestesia general endovenosa Propofol 4-8 mg/kg/h vs anestesia general inhalatoria con Desflorano en una concentración final de marea del 3% -7%.	Se recogieron muestras de sangre venosa antes y 1 hora después de la inducción de la anestesia y 24 horas después de la operación. Las muestras de sangre se recogieron en tubos de ácido etilendiaminotetraacético (EDTA) para el recuento de células sanguíneas y análisis de linfocitos y en un tubo separador de suero (SST) para las pruebas de concentración de citoquinas. Las muestras en SST se centrifugaron (3.000 g, 10 min) y el suero resultante se almacenó a -20 ° C hasta el análisis. Los subconjuntos de linfocitos se analizaron mediante citometría de flujo (Cytomics FC500, Beckman Coulter, Inc., FL, EE. UU.). Se utilizaron los siguientes anticuerpos (Beckman Coulter, Inc., Marseille, Francia) contra antígenos de linfocitos para determinar los tipos de células: CD3-FITC / CD4 PE (células T cooperadoras, células T CD4 +), CD3-FITC / CD8-PE (supresor / células T citotóxicas, células T CD8 +) y CD3-FITC / CD16 + CD56 PE (células NK). Las concentraciones plasmáticas de IL-2 e IL-4 se midieron con un ensayo inmunoabsorbente ligado a enzimas (ELISA) utilizando un kit disponible comercialmente (IL-2 humana e IL-4 Quantikine Elisa Kit, R&D Systems, Inc., EE. UU.) De acuerdo con Protocolos proporcionados. Los ensayos se leyeron utilizando un lector de microplacas ELISA (Spectra Max 190, Molecular Devices, Sunnyvale, CA, EE. UU.). Determinamos el equilibrio Th1 / Th2 calculando la relación IL-2 / IL-4

Subgrupo	Referencia, primer autor, fecha	Pais o region	Centro de donde proviene los datos	Analisis	Número de pacientes	Intervención a / intervención b	Seguimiento o recolección de la información
	FIONA DESMOND, 2015	Irlanda	Donal Buggy, Department of Anaesthesia, Mater Misericordiae University Hospital, Eccles St, Dublin, Ireland.	comparamos las diferencias entre la mediana (rango intercuartil (IQR)) para las técnicas anestésicas mediante la prueba de Mann-Whitney. Para las características de los pacientes, las diferencias entre los datos continuos distribuidos normalmente se probaron utilizando la prueba t no pareada y para los datos categóricos la prueba exacta de Fischer	30	edades: anestesia general endovenosa vs anestesia general más bloqueo dosis no especificada	<p>Sus muestras clínicas de tejido de cáncer de mama se revisaron y se volvieron a teñir para determinar la expresión diferencial de marcadores de infiltración de inmunocitos.</p> <p>La infiltración de inmunocitos de las muestras de tejido de cáncer de mama se midió mediante el análisis inmunohistoquímico de muestras de tumores utilizando marcadores CD4 y CD8 de linfocitos T CD56, células NK y macrófagos CD68. El grado de tinción indica el nivel de infiltración y esto se evaluó mediante técnicas inmunohistoquímicas estándar. Desde los bloques de tejido embebidos en parafina fijados con formalina, los cortes se cortaron a 4 µm y se montaron en portaobjetos de vidrio. Para mejorar la adhesión al vidrio, los portaobjetos se incubaron durante 30 minutos a 60 ° C o durante la noche a 37 ° C. Los portaobjetos se desparafinaron utilizando dos incubaciones de 5 min de xileno limpio, seguidas de tres lavados con etanol absoluto. Las secciones se colocaron en un soporte de portaobjetos radio - transparente y el portaobjetos se sumergió en EDTA 1 mM a pH 7,5 (de un material 100 mM) en un vaso de precipitados. Fueron cubiertos con un pedazo de envoltura Saran en el que se hicieron agujeros. Después de comprarlos a ebullición en un horno de microondas a una potencia máxima (8 minutos por 800 ml), se dejó hervir durante 15 minutos a una potencia reducida (potencia 3), de modo que el líquido continuó a fuego lento. Se enfrió a temperatura ambiente durante 30-60 minutos y luego se transfirió a solución salina tamponada con Tris.</p> <p>Toda la tinción se realizó en una cámara húmeda. Se realizó doble inmunohistoquímica de fosfatasa alcalina indirecta (AP). Las diapositivas se escanearon y las imágenes se inspeccionaron para determinar su calidad. La optimización de las diapositivas se realizó cuando fue necesario debido a la suciedad, el plegado, el exceso de medios de montaje, las burbujas de aire, etc.</p> <p>Las diapositivas se analizaron para los parámetros indicados por métodos manuales y automatizados. Las diapositivas se analizaron mediante una técnica de deconvolución de color. La deconvolución del color separa con precisión las manchas al separar la imagen en 3 canales (Rojo / Verde / Azul (R / G / B)) correspondientes a los colores reales utilizados</p>

Subgrupo	Referencia, primer autor, fecha	Pais o region	Centro de donde proveiene los datos	Analisis	Número de pacientes	Intervención a / intervención b	Seguimiento o recolección de la información
Anestesia general (inhalatoria Sevoflorano o Desflorano o endovenosa Propofol) comparada con anestesia general (Sevoflorano o Desflorano o Propofol) + regional (epidural o bloqueo paravertebral)	Jin Sun Cho, 2017	corea del sur	Yonsei University Health System, Seoul, Korea, on February 2014	t-test, Mann-Withney U, Las variables medidas repetidamente, como NKCC, IL-2, recuento total de leucocitos, neutrófilos y linfocitos, y la proporción de linfocitos-neutrófilos (NLR) se analizaron con un modelo lineal mixto, con indicador del paciente como efecto aleatorio y con grupo, tiempo, y grupo por tiempo como efectos fijos	50	Propofol - ketorolaco: Una concentración plasmática objetivo de Propofol fue inicialmente de 4 µg / ml y luego se ajustó en incrementos de 0.2 µg / ml. sevofluonaro-fentanil la profundidad se evaluo con indice biespectral para profundidad entre 40 a 60	las muestras sanguineas se obtuvieron antes y 24 horas posterior a procedimiento quirurgico,Luego, se recogió una capa delgada de células mononucleares de sangre periférica (PBMC), se lavó dos veces y se resuspendió con una mezcla que contenía estreptomina , La IL-2 se midió en suero utilizando un kit comercial ELISA (Quantikine Human IL-2 ELISA Kit; R&D System Inc, MN, EE. UU.) Antes de la operación y 24 h después de la cirugía

Subgrupo	Referencia, primer autor, fecha	Pais o region	Centro de donde proviene los datos	Analisis	Número de pacientes	Intervención a / intervención b	Seguimiento o recolección de la información
	Jun Zhu, 2017	china	Department of Anesthesiology, The Xinjiang Uygur Autonomous Region People's Hospital, Urumqi, P.R. China.	<p>Los datos de medición se representaron como media \pm desviación estándar (media \pm DE). Las diferencias entre dos grupos se analizaron mediante análisis de varianza de una vía (ANOVA). Se usó el método de Welch si había heterogeneidad de varianza.</p> <p>Se aplicó la prueba Dunnetts T3 para comparaciones post hoc entre grupos.</p>	144	anestesia general inhalatoria con sevoflurana a 1 y 3 % vs general inhalatoria mas epidural con 5 mL de levobupivacaina al 0.5%	<p>La muestra de sangre de la vena (6 ml cada paciente) se extrajo con un catéter intravenoso respectivamente en los siguientes 5 puntos de tiempo: 30 minutos antes de la inducción de la anestesia (T1), 2 horas después del inicio de la cirugía (T2), al final de la cirugía (T3), 1 Día después de la cirugía (T4), 3 días después de la cirugía (T5),</p> <p>La muestra de 4 ml se coaguló en un tubo de silicona, seguido de una centrifugación de 15 minutos (2000 r / min) a 4 ° C con la centrifuga de alta velocidad.</p> <p>Luego se extrajo el suero y se colocó en un tubo Eppendorf (EP), se marcó y se conservó en un congelador a 70 ° C</p> <p>Mientras tanto, la otra muestra de sangre de 2 ml se cargó en un tubo anticoagulante de ácido etilendiamina tetraacético (EDTA) y se almacenó durante no más de 24 horas a 4 ° C. Se utilizó un citómetro de flujo de 3 colores para analizar las tasas de supervivencia de los subconjuntos de células T (CD3 +, CD4 +, CD8 +, CD4 + / CD8 +) y las células asesinas naturales (NK) (CD3 + / CD16 + CD56 +).</p> <p>Los números de los subconjuntos de células T se midieron utilizando el antihumanCD3 de ratón marcado con PerCP, el anti-CD4 humano marcado con isotiocianato de fluoresceína (FITC) y los anticuerpos monoclonales antihumano CD8 de ratón marcado. Y se detectaron los números de células NK con el CD3 antihumano de ratón marcado con FITC y los anticuerpos monoclonales antihumano CD16 / 56 de ratón marcado con PE . CD4 (%) = el número de (CD3 + CD4 +) / el número de CD3 totalTcells.CD8 (%) = el número de (CD3 + CD8 +) / el número de células T totales CD3. Células NK (%) = el número de células NK en el cuadrante superior derecho / (el número de células NK en el cuadrante superior derecho + el número de células NK en el cuadrante inferior derecho) 100%</p>

Subgrupo	Referencia, primer autor, fecha	Pais o region	Centro de donde proviene los datos	Analisis	Número de pacientes	Intervención a / intervención b	Seguimiento o recolección de la información
	Songtao Liu, 2016	china	Department of Anesthesiology, Xuzhou Central Hospital, The Affiliated Xuzhou, china	<p>Los resultados de este estudio se evaluaron utilizando GraphPad Prism 5.0 (GraphPad Software Inc, San Diego, CA).</p> <p>Las variables continuas se describieron como media \pm desviación estándar y las diferencias entre los grupos se analizaron mediante el uso de la prueba t no pareada para datos distribuidos normalmente.</p> <p>Las variables categóricas se describieron como número (%) y se analizaron mediante la prueba exacta de Fisher.</p> <p>Las diferencias de los recuentos de subconjuntos de linfocitos en diferentes puntos de tiempo en el mismo grupo se analizaron mediante un análisis de varianza de 1 vía (ANOVA) seguido de una prueba post hoc de Tukey HSD. Las diferencias de los recuentos de subconjuntos de linfocitos entre los grupos de acuerdo con los puntos temporales se analizaron mediante ANOVA de 2 vías seguido de corrección de Bonferroni. El valor de $p < 0,05$ se consideró estadísticamente significativo</p>	60	grupo de endovenosa: propofol 4 to 8mg/kg per h. inhalatoria: sevoflurane 2 a 3 %	<p>Dos mililitros de sangre venosa periférica se recogieron en tubos de ensayo anticoagulantes (tubo de ácido etilendiaminotetraacético) en 5 puntos de tiempo: 30 minutos antes de la inducción de la anestesia (T0); el final de la operación (T1); y 24h (T2), 48h (T3) y 72h (T4) después de la operación. Los tubos Vacutainer fueron transportados al laboratorio de hematología inmediatamente. Se realizó un procedimiento de lisis sin lavado de una sola plataforma con tubos Trucount (BD, Franklin, NJ) con las siguientes combinaciones de anticuerpos monoclonales de 2 o 4 colores suministrados en el Kit MultiTEST IMK (BD): CD3FITC / CD8PE / CD45PerCP / CD4APC o CD3FITC / CD16 + 56PE / CD45PerCP / CD19APC. La muestra de sangre teñida se lisó con una solución de lisis diluida, y se tomó especial cuidado para no exponer la muestra teñida a la luz. Se identificaron células T CD3 +, células auxiliares T CD4 + y células citotóxicas T CD8 + de acuerdo con los protocolos publicados. Las células B se identificaron mediante la expresión de CD19 y las células NK se identificaron con el fenotipo CD3 CD16 + y / o CD56 +. Durante el período perioperatorio, los detalles quirúrgicos de cada paciente (es decir, el tiempo de operación, la pérdida de sangre, el volumen de cristaloides o coloides recibidos, el volumen de orina y las complicaciones intraoperatorias) y las características postoperatorias (es decir, la duración del tratamiento), cateterización, estancia hospitalaria y complicaciones postoperatorias) fueron grabados.</p>

Subgrupo	Referencia, primer autor, fecha	Pais o region	Centro de donde proviene los datos	Analisis	Número de pacientes	Intervención a / intervención b	Seguimiento o recolección de la información
	A. Buckley, 2014	Irlanda	Department of Anaesthesia, Mater Misericordiae University Hospital, Dublin, Ireland	<p>Los datos distribuidos normalmente se analizaron mediante pruebas paramétricas y las pruebas no paramétricas se aplicaron a datos que normalmente no se distribuyen.</p> <p>Hubo 10 muestras de suero (n=5 de cada técnica anestésica) y tres series de NK de donantes sanos, con cada experimento realizado por triplicado. Las estadísticas se realizaron utilizando GraphPad Prism™ V5 para Windows (GraphPad Software, San Diego, CA, EE. UU.). Los datos se compararon utilizando pruebas t no pareadas para datos paramétricos y la prueba U de Mann-Whitney para datos no paramétricos. Los datos se expresan como media (SEM</p>	10	anestesia general endovenosa propofol a 2 a 4 mg/kg hora vs general mas bloqueo paravertebral con propofol en infusion 4 mg e infusion por cateter paravertebral a of 8-10 ml/h de levobupivacaina a 0.25%.	<p>Se obtuvieron muestras de sangre de todos los pacientes antes de la operación y 24 h después de la operación, se centrifugaron y se almacenaron a - 80° C. Suero de PPA (n=5) y los sujetos GA (n=5) fueron seleccionados al azar de entre. Esto se trató con ácido etilendiaminotetraacético al 5% y se diluyó (1: 2) con solución salina equilibrada de Hank (HBSS) (Bio-Sciences, Oxford, Reino Unido) complementada con suero de ternera fetal al 1% (FCS) y ácido hidroxietil piperazineanosulfónico 10 mM (HEPES).</p> <p>La sangre tratada se colocó sobre el medio de gradiente de densidad Lymphoprep (STEMCELL Technologies, Grenoble, Francia) y se centrifugó a 400 g (Hettich Universal 320R, DJB Labcare Ltd, Buckinghamshire, Reino Unido) durante 25 min. Las células de la interfaz se recogieron y se lavaron una vez en HBSS y se suspendieron en medio RPMI 1640 (Bio-Sciences) suplementado con 10% de FCS, 10 mM HEPES, 2 mM de L-glutamato, 100 U de penicilina/ml y 100 mg de estreptomycin/ml. La expresión del receptor activador se determinó mediante citometría de flujo. Después de 24 h de cultivo, las células NK se tiñeron con anticuerpos conjugados con fluorescencia para la detección de CD56, NKp30, NKp44, NKp46, 2b4, CD16 o NKG2D expresión.</p> <p>Las células NK que expresan cada receptor particular se analizaron mediante el citómetro de flujo FACSCalibur™ y el software CellQuest (BD Bio-sciences, Oxford, Reino Unido). La expresión de CD107a fue para células NK cultivadas solas o co-cultivadas con células HCC en el medio suplementado con suero del sujeto.</p>

Subgrupo	Referencia, primer autor, fecha	Pais o region	Centro de donde proveiene los datos	Analisis	Número de pacientes	Intervención a / intervención b	Seguimiento o recolección de la información
	Y. J. Xu 2014	china	Cancer Hospital Fudan University	Los datos se compararon utilizando una prueba t de grupo independiente para parámetros paramétricos. Datos y una prueba U de Mann Whitney para datos no paramétricos. Las diferencias en las puntuaciones VAS se evaluaron mediante el análisis de varianza de medidas repetidas y se corrigieron con un Tukey prueba post hoc. Los datos categóricos se evaluaron utilizando la prueba exacta de Fisher	40	el grupo de anestesia general mas peridural se dio mantenimiento con propofol para una concentración plasmática media de 2.9 mg/ml mas anestesia peridural con dosis de carga de 0,375% de ropivacaína fue de 6-8 ml, dependiendo de la altura y el peso del paciente. Ropivacaína a 5 ml de h21 se infundió luego usando una bomba de microinfusión durante toda la cirugía. y el grupo de anestesia general sola se dio mantenimiento con una concentración alveolar mínima de 1,0 a 1,5 sevoflurano y analgesia intraoperatoria consistió en fentanilo 0,2-0,4 mg/kg h	La sangre venosa se retiró antes de la operación y 24 h después de la operación. Las muestras se centrifugaron a 4000 g. Después de eso, el suero se almacenó a -20°C para futuras mediciones. Se prepararon ensayos inmunoabsorbentes ligados a enzimas para VEGF-C (Immuno Biological Laboratories Co., Ltd, Japón) y TGF-β1 (DRG Instruments GmbH, Alemania). Los niveles plasmáticos de IL-6 e IL-10 se midieron con los kits de ensayo de inmunoabsorción cuantitativos sándwich cuantitativos disponibles en el mercado

Subgrupo	Referencia, primer autor, fecha	Pais o region	Centro de donde proveiene los datos	Analisis	Número de pacientes	Intervención a / intervención b	Seguimiento o recolección de la información
	Juan P. Cata, 2013	USA	Cleveland Clinic	Las diferencias entre los valores preoperatorios y postoperatorios se analizaron mediante una prueba t pareada o un análisis de varianza de medidas repetidas seguido de la corrección de Bonferroni para comparaciones múltiples cuando corresponda	24	mantenimiento anestésico con sevoflurane para bis entre 40 a 60 y La analgesia epidural perioperatoria consistió en un bolo de 6-9 ml de bupivacaína al 0,1% - 0,25% seguido de una infusión postoperatoria de bupivacaína (0,1% - 0,2%) con o sin 2 µg / ml de fentanilo a una tasa de 6-9 ml /hora.	Las muestras de sangre se recogieron inmediatamente después de que cada paciente ingresara al quirófano y 24 horas después de la operación en tubos de ácido etilendiaminotetraacético o heparina para el análisis de citocinas y linfocitos. Los niveles plasmáticos de IL-2, IL-4 e IFN-γ se midieron mediante un ensayo inmunoabsorbente ligado a enzimas utilizando un kit disponible comercialmente (R&D Systems, Inc.). Los niveles plasmáticos de cada citoquina se midieron por duplicado en una parte alícuota de cada muestra y el valor medio de estas dos mediciones se usó como la concentración final.

Subgrupo	Referencia, primer autor, fecha	Pais o region	Centro de donde proviene los datos	Analisis	Número de pacientes	Intervención a / intervención b	Seguimiento o recolección de la información
	Di Zhou, 2012	china	Liver Cancer Institute, Zhongshan Hospital of Fudan University, Shanghai, China	<p>Los valores se expresan como la media \pm SE de la media.</p> <p>Las pruebas t de Student se usaron para comparar variables cuantitativas, y las pruebas exactas de Fisher se usaron para las variables categóricas.</p> <p>P <0,05 de dos colas se consideró significativo</p>	61	<p>anestesia general inhalatoria con sevoflurane a 1,5 a 3,55 mas peridural con una concentracion de 0.375% de bupivacaine (8 mL), y despues 4 mL cada 50-min.</p>	<p>Se obtuvieron muestras de sangre (10 ml) de todos los pacientes en posición reclinada con una aguja de calibre 20 para una punción venosa limpia de una vena antecubital en tres puntos de tiempo: temprano en la mañana del día de la operación (d0), y el segundo (d2) y séptimo día (d7) después de la operación. Las muestras se recogieron en tubos que contenían 0,2 ml de heparina sódica. Se prepararon células mononucleares de sangre periférica (PBMC) utilizando un gradiente de densidad de Ficoll, para citometría de flujo y análisis de reacción en cadena de la polimerasa en tiempo real. El plasma se obtuvo después de la centrifugación y se almacenó a -80 para medir las citoquinas. Para los análisis de Th1, Th2 y Th17, las PBMC se suspendieron a una densidad de 2 x 106 células / ml en medio de cultivo completo (RPMI 1640 complementado con 100 U / ml de penicilina, 100 μg / ml de estreptomocina, 2 mmol de glutamina y 10% de calor suero inactivado de ternera fetal). La suspensión celular se transfirió a pocillos individuales de placas de 24 pocillos. Los cultivos se estimularon con acetato de miristato de forbol (50 ng / mL), ionomicina (1 μmol) y Brefeldin A (10 μg / mL, todos de Sigma-Aldrich, St. Louis, MO, Estados Unidos) durante 4 h. Los cultivos se incubaron a 37, en un ambiente de CO2 al 5%. Después de 4 h de cultivo, los contenidos del pozo se transfirieron a tubos de centrifuga estériles de 1,5 ml. Para analizar los Tregs, las PBMC se dividieron en alícuotas en tubos para tinción adicional. Para los análisis Th1, Th2 y Th17, las células se incubaron con CD4 antihumano conjugado con isotiocianato de fluoresceína (FITC) a 4 durante 20 min. Para el análisis de Treg, las células se incubaron con CD4 anti-humano conjugado con FITC y anticuerpos monoclonales anti-CD25 anti-humano CD25 (mAbs) conjugados con alofocianina (APC). Después de la tinción de la superficie, las células se tiñeron con IFN-γ anti-humana conjugada con R-ficoerina (PE), interleucina (IL) -4 anti-humana conjugada con APC e IL-17 mAbs para la detección de Th1, Th2 y Th17. respectivamente; o mAb FoxP3 antihumano conjugado con PE para la detección de Treg después de la fijación y permeabilización, de acuerdo con las instrucciones del fabricante. Se administraron controles de isotipo para permitir una compensación correcta y confirmar la especificidad del anticuerpo. Todos los anticuerpos fueron adquiridos de eBioscience (San Diego, CA, Estados Unidos). Las células teñidas se analizaron utilizando un citómetro FACScan equipado con el software CellQuest (BD Bioscience, San Jose, CA, Estados Unidos).</p>

Subgrupo	Referencia, primer autor, fecha	Pais o region	Centro de donde proveiene los datos	Analisis	Número de pacientes	Intervención a / intervención b	Seguimiento o recolección de la información
	H DONG, 2012	china	Department of Anaesthesiology, Second Affiliated Hospital of Harbin Medical University, Harbin, China	<p>La media \pm desviación estándar de los datos del estudio y los grupos de control se calcularon y compararon utilizando la prueba t de Student no pareada. Los datos de Tpre y T4 h dentro de los grupos se compararon utilizando la prueba t de Student pareada.</p> <p>Todas las pruebas fueron de dos colas y un valor de p <0,05 se consideró estadísticamente significativo.</p>	61	<p>anestesia general con propofol a 2 - 4 mg/kg h vs anestesia general mas epidural a concentracion de 0.375% ropivacaine and 1% lidocaina) por cateter epidural dosis de cardga de 8 - 10 ml, seguido de infusion de 4 - 5 ml cada 1,5 horas</p>	<p>Las muestras de sangre venosa se obtuvieron en dos momentos: antes de la anestesia (Tpre) y 4 h después de la incisión en la piel (T4 h). Para el ensayo NKCC, se mezclaron muestras de sangre heparinizadas y estériles 1: 3 con medio modificado de McCoy (Gibco BRL, Grand Island, Nueva York, NY, EE. UU.). Los matraces de cultivo que contenían sangre y medio de cultivo celular se almacenaron a 20 - 25°C para un análisis adicional. Inmediatamente antes del ensayo, las células mononucleares de sangre periférica (PBMC) se aislaron de muestras de sangre almacenadas mediante centrifugación en un gradiente de Histopaque®-1077 (Sigma-Aldrich, St Louis, MO, EE. UU.) Durante 15 min a 1100 g, a temperatura ambiente. La capa de interfase se recogió con una pipeta y se lavó tres veces con solución salina tamponada con fosfato 40 mM, pH 7,4 (Gibco BRL). El NKCC se determinó midiendo la cantidad de radioactividad liberada de las células diana K-562 marcadas con ⁵¹Cr (New England Nuclear Corp., Boston, MD, EE. UU.) Utilizando un contador Beckman LS-6800 (Beckman Coulter, Brea, CA, EE. UU.). Una muestra (100 μl) de la suspensión de células K-562 que contenía 1×10^5 células / ml se incubó por triplicado con el mismo volumen de PBMC en una proporción de 1: 40 en placas de microtitulación, durante 4 horas a 37 ° C en 5% dióxido de carbono. La liberación espontánea de radiactividad se determinó mediante la incubación de las células diana K-562 solo con medio. La liberación máxima de radioactividad se determinó mediante la adición de detergente (2% de dodecilsulfato de sodio) para las celdas. El porcentaje de citotoxicidad fue calculado como: $100 \times (\text{recuentos experimentales por minuto [cpm]} - \text{cpm espontáneos}) / (\text{máximo cpm de liberación} - \text{cpm espontáneos})$</p>

Subgrupo	Referencia, primer autor, fecha	Pais o region	Centro de donde proveiene los datos	Analisis	Número de pacientes	Intervención a / intervención b	Seguimiento o recolección de la información
	X. F. Ren, 2010	china	Department of Anesthesiology, Second Affiliated Hospital of Harbin Medical University, Harbin, China	<p>Los datos de incidencia fueron analizados mediante prueba de cinquiometro. Las medidas repetidas se analizaron mediante ANOVA factorial utilizando el procedimiento SAS GLM con la declaración SAS LSMEANS.</p> <p>Los análisis post hoc se ajustaron para comparaciones múltiples utilizando la corrección de Bonferroni cuando fue apropiado. Un valor de $p < 0,05$ fue considerado significativo. Según nuestro estudio preliminar y estudios informados [17, 20], consideramos que se necesitarían 15 pacientes en cada grupo para detectar la diferencia clínica, con un valor para a de 0.05 y para b de 0.8.</p>	30	<p>anestesia general endovenosa vs anestesia general inhalatoria no se especifican dosis</p>	<p>En varios puntos de tiempo, es decir, justo antes de la inducción de la anestesia (línea de base, T0), 10 min después de la inducción (T1), 1 h después de la incisión (T2), inmediatamente después de interrumpir los anestésicos (T3), 1 h después de la operación (T4) y 24 h después de la operación (T5), se extrajo sangre venosa (4 ml) en una jeringa heparinizada a través de un catéter permanente. Para la determinación de subpoblaciones CD4 + CD28 +, se utilizó el análisis de inmunofluorescencia de tres colores. La muestra de sangre de 2 ml fue anticoagulada con etilendiamina. ácido tetra-acético (EDTA) e incubado durante 15 minutos con anti-CD3-percp (Becton Dickinson, San José, CA, EE. UU.), anti-CD4-PE (Becton Dickinson), anti-CD28-FITC (Becton Dickinson). Células añadidas con glóbulos rojos. El tampón de lisis se incubó en la oscuridad a temperatura ambiente durante 20 min. Luego, las células se agregaron con solución salina tamponada con fosfato (PBS) y se centrifugaron a 10 000 r.min) 1. Las células nucleadas se recogieron, se lavaron y se fijaron con PBS. El recuento celular se realizó utilizando un citómetro de flujo (FACSort; Becton Dickinson). En este recuento, solo se incluyeron las células activadas como linfocitos de acuerdo con sus características de dispersión de luz directa y 90°. Los datos fueron adquiridos y analizados con el software CELLQUEST 3.0 (Becton Dickinson). Otros 2 ml de las muestras de sangre se centrifugaron a 2000 g durante 20 min a 4°C y el plasma se almacenó a 20°C para un análisis posterior de las citocinas (IL-12, IFN-c, IL-4) y cortisol. Las citoquinas se midieron mediante kits de ensayo de inmunoadsorción ligado a enzimas (ELISA) y cortisol mediante el kit de ensayo inmune de radiación (RIA) (Sen Xiong Technology, Shanghai, China).</p>